

ویژگی‌های زمین‌شناسی، کانه‌زایی، ژئوشیمی، و میانبار سیال کانسار مس باغ خشک، سیرجان، جنوب‌شرق ایران

فائزه یحیی‌زاده^{*}، مسعود علی‌پور اصل*

۱- گروه پترولوزی و زمین‌شناسی اقتصادی، دانشکده علوم زمین، دانشگاه صنعتی شهرود، شهرود، ایران

(پژوهشی)

پذیرش مقاله: ۱۴۰۰/۳/۲۱ تأیید نهایی مقاله: ۱۴۰۰/۱۱/۱۴

چکیده

کانسار باغ خشک در ۳۵ کیلومتری شمال خاور سیرجان در کمربند مس کرمان واقع است. گدازه و توفهای آندزیتی تا آندزیت بازالی ائوسن گستردۀ ترین واحدهای سنگی هستند. استوکهای نیمه عمیق گرانودیوریت و دیوریت پوروفیری به سن میوسن پسین در سنگ‌های آتشفسانی نفوذ کرده‌اند. مناطق دگرسانی از داخل به خارج شامل پتاسیک، فیلیک، آرژیلیک و پروپیلیتیک است. این کانسار شامل کانی‌های سولفیدی (پیریت، کالکوپیریت، بورنیت، مولیبدنیت، کالکوسیت و کوولیت)، اکسیدهای آهن (مگنتیت، اولیژیست، هماتیت و گوتیت) و ملاکیت است که بیشتر به صورت‌های دانه‌پراکنده و رگه-رگچه‌ای در مناطق پتاسیک و فیلیک مشاهده می‌شوند. سنگ‌های آذرین منطقه از نوع سری کالک‌آلکالن هستند و در محیط کمان‌های قاره‌ای نرمال تشکیل شده‌اند. مس عنصر اصلی کانسار است و با مولیبدن همبستگی مثبت دارد. میانبارهای سیال در کریستال‌های کوارتز شامل گونه‌های LV، LVL و L VH است. درجه حرارت همگن‌شدن میانبارهای سیال LV و L VH به ترتیب از ۱۸۰ تا ۲۸۹، ۳۳۱ تا ۵۶۵ و ۲۰۷ تا ۲۷۶ درجه سانتی‌گراد، و شوری آنها از ۰/۳۵ تا ۰/۲۴، ۱۰/۰ تا ۱۱/۲۲ و ۳۳/۵۵ تا ۴۲/۶۶ درصد وزنی معادل نمک طعام تغییر می‌کند. تفسیر داده‌های میانبار سیال اغلب سرد شدن طبیعی و رقیق‌شدگی سیال در سطح را در تهنشست فلزات دخیل می‌داند. سامانه مağمایی باغ خشک همانند دیگر سامانه‌های مağمایی بارور در کمربند ارومیه-دختر، از ذوب بخشی منبع گوشته‌ای و پوسته زیرین ضخیم شده تشکیل شده، که در این میان سهم پوسته زیرین غالب بوده است. در نهایت، کانه‌زایی باغ خشک یک کانسار مس پوروفیری است، که با مağمایه‌ای آداسیتی و بارور میوسن پسین مرتبط است.

واژه‌های کلیدی: باغ خشک، کانه‌زایی، کمربند مس کرمان، مس پوروفیری، میانبار سیال.

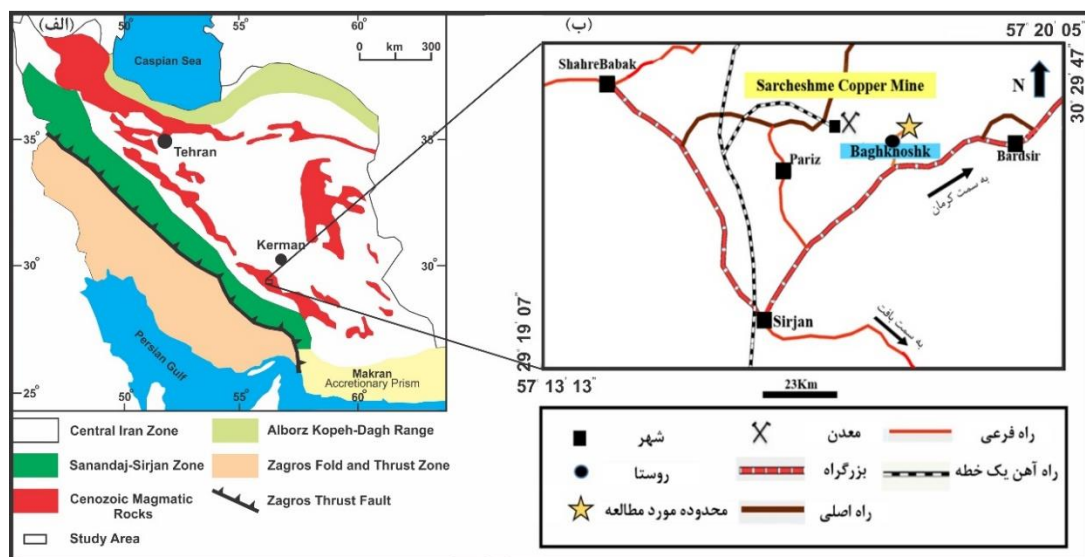
(سنگ‌های نفوذی آدکیتی) همراه هستند، از قبیل آنهایی که در نوع کوه پنج دیده می‌شود. بسیاری از نفوذی‌های اوسن-الیگومن نوع جبال بارز فاقد کانه‌زایی مس اقتصادی هستند (Dimitrijevic, 1973; McInnes et al, 2003; McInnes et al, 2005; Shafiei et al, 2009; Richards et al, 2012; Asadi et al, 2014; Aghazadeh et al, 2015). کانسار مس باع خشک در ۳۵ کیلومتری شمال خاور سیرجان در استان کرمان و در کمربند ارومیه- دختر جنوی واقع شده است (شکل ۱ الف و ب). این کانسار برای نخستین بار در اوایل دهه ۱۹۷۰ توسط زمین‌شناسان یوگسلاوی شناسایی شد. گروه یوگسلاوی (Yugoslavian Group, 1971) چهارگوش زمین‌شناسی ۱/۱۰۰۰۰۰ پاریز را تهیه کرده است، که در محدوده اکتشافی باع خشک سنگ‌های آتشفشاری با ترکیب آندزیت، تراکی آندزیت، و داسیت آندزیتی اوسن، گرانودیبوریت میوسن پسین و اثر معدنی مس (Nedimovic, 1973) گزارش کرده‌اند. ندیموویچ (Nedimovic, 1973) براساس کارهای اکتشافی ذخیره‌ای برابر با ۲۴ میلیون تن کانسنگ با عیار ۰/۲۷ درصد مس برای کانسار باع خشک گزارش کرده است. سهیلی (Soheili, 1995) نقشه زمین‌شناسی چهارگوش ۱/۲۵۰۰۰ سیرجان را براساس اطلاعات چهارگنبد، بردسیر، سیرجان، بلورد و بافت گردآوری کرده است. مطالعه پتروزنز و موقعیت ژئودینامیکی گرانیتوییدهای باع خشک بر پایه داده‌های ژئوشیمی و ایزوتوپی $\text{Nd}^{+2}/\text{Nd}^{+3}$ و نسبت‌های $^{87}\text{Sr}/^{86}\text{Sr}$ (۰/۷۰۴۶-۰/۷۰۵۳) نشان می‌دهد که گرانیتوییدهای باع خشک از ذوب بخشی منبع گوه گوشت‌های تحت فشارهای پایین‌تر از میدان پایداری گارنت تشکیل شده و توسط سیالات ماسیتی در طول فرایندهای فرورانش دچار تغییر شده‌اند، و تشکیل

مقدمه

کمان ماسیتی ارومیه- دختر با امتداد شمال باخته- جنوب خاوری، بخشی از کمربند کوه‌زایی زاگرس است که در نتیجه فرورانش پوسته اقیانوسی تیس جوان به زیر خرد قاره ایران مرکزی در طول کوه‌زایی آلپ در زمان سنوزویک تشکیل شده است (Berberian and Berberian, 1981; Alavi, 1994). انواع سنگ‌های آذرین بیرونی، نیمه‌خروجی و درونی با ویژگی‌های ژئوشیمیایی کالک‌آلکالن تا آلکالن در سراسر کمان ارومیه- دختر شناسایی شده است. سنگ‌های نفوذی میزبان کانه‌زایی دارای بافت پورفیری هستند و ترکیب سنگ‌شناسی آن‌ها از دیوریت تا کوارتز دیوریت، گرانودیبوریت و کوارتز مونزونیت تغییر می‌کند (Waterman and Hamilton, 1975; Hassanzadeh, 1993; Shahabpour, 2005). کمربند ماسیتی ارومیه- دختر از نظر ویژگی‌های جغرافیایی، زمین‌شناسی و فلززایی به سه بخش تقسیم شده است (قربانی، ۱۳۸۷): ۱) ارومیه- دختر شمالی (قطعه قم- تفرش- تکاب- سهند)، ۲) ارومیه- دختر میانی جنوبی (قطعه کرمان). قطعه کرمان میزبان کانسارهای بزرگ مس پورفیری از قبیل سرچشم، میدوک، دره زار، در آلو، کوه پنج، باع خشک و تعداد بی‌شماری از کانسارهای مس پورفیری کوچک است. در منطقه فلززایی کرمان، سنگ‌های نفوذی از جنبه‌های ژئوشیمیایی و پترولوزیکی به دسته‌های بارور (نوع کوه پنج) و نیمه‌بارور تا نابارور (نوع جبال بارز) تقسیم شده است. فعالیت‌های ماسیتی و کانه‌زایی مس پورفیری در کمربند ارومیه- دختر به زمان‌های اوسن- الیگومن، الیگومن میانی- پسین و میوسن میانی- پسین نسبت داده شده است. کانسارهای مس پورفیری بزرگ در ناحیه کرمان از نظر ژنتیکی با گرانیتوییدهای زمان میوسن میانی- پسین

آدکیتی بارور با سن میوسن (تیپ کوه پنج)، و یا از نوع سامانه‌های ماقمایی غیرآدکیتی نیمه‌بارور تا نابارور با سن ائوسن-الیگوسن (تیپ جبال بارز) در ناحیه کرمان است. از اینرو، طی هماهنگی‌هایی که با شرکت ملی صنایع مس ایران انجام شد، مطالعه کانسار مس باع خشک برای موضوع تحقیق حاضر انتخاب شد. در این مطالعه، کانسار باع خشک از منظر سنگ‌شناسی، دگرسانی، ژئوشیمی، کانه‌زایی و میانبار سیال بررسی شده است. در نهایت، با تعیین ماهیت ژئوشیمیایی گرانیتویید باع خشک پیدایش کانه‌زایی مس بررسی شده است.

گرانیتوییدهای باع خشک در زمان میوسن تاکید دارد که برخورد میان صفحه‌های عربی و ایران مرکزی در امتداد کوهزایی زاگرس در طول زمان Hosseini and Arvin, 2020). کارهای اکتشافی سیستماتیک در منطقه باع خشک توسط شرکت ملی صنایع مس ایران انجام شده است (شرکت ملی صنایع مس ایران، ۱۳۸۹). گردآوری و بررسی کارهای پیشین نشان می‌دهد که کانسار مس باع خشک تا به حال از جنبه کانه‌زائی و الگوی پیدایش مطالعه نشده است. علاوه بر این، آن مشخص نیست که آیا توده گرانیتوییدی باع خشک از نوع سامانه‌های ماقمایی



شکل ۱: نقشه موقعیت زمین‌شناختی و جغرافیایی منطقه مطالعه: (الف) موقعیت منطقه در کمربند ماقمایی ارومیه-دختر (با تغییر از Stöcklin, 1968)، و (ب) موقعیت جغرافیایی و راههای دسترسی به منطقه باع خشک.

منطقه باع خشک، تعداد ۱۳ نمونه از سنگ‌های سالم و کمتر دگرسان شده از رخنمون‌ها و مغزه‌های حفاری برداشت شده است. این نمونه‌ها برای اندازه‌گیری مقادیر اکسید عنصر اصلی به روش ذوب قلیایی و با استفاده از دستگاه فلورسانس اشعه ایکس (XRF)، و برای اندازه‌گیری مقادیر عنصر کمیاب و کمیاب خاکی به روش مخلوط چهار اسید و با استفاده از دستگاه‌های طیف‌سنجی پلاسمای

مواد و روش‌ها

در این تحقیق، تعداد ۲۱ نمونه از سنگ‌های رخنمون‌دار و ۲۴ نمونه از مغزه‌های حفاری برای مطالعات سنگ‌نگاری، کانی‌شناسی، ساخت و بافت انتخاب شده است. این نمونه‌ها پس از تهیه مقاطع نازک، نازک-صیقلی و صیقلی در آزمایشگاه کانی-شناسی دانشگاه صنعتی شاهروд مطالعه شده است. برای انجام مطالعات پترولوزی و ژئوشیمی در

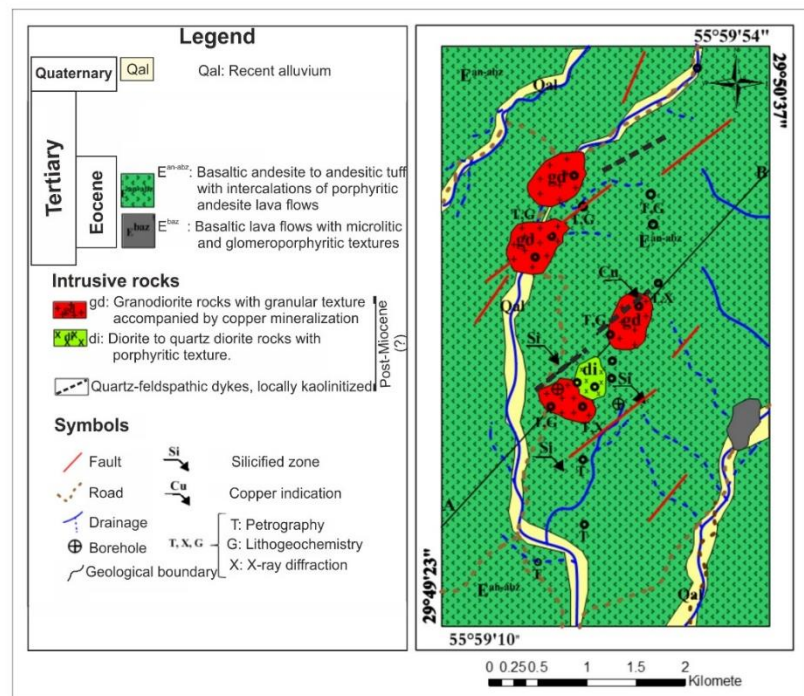
گدازه‌های بازالتی با بافت‌های میکرولیتی و گلومروپورفیری از واحدهای آتشفشانی ائوسن در این منطقه هستند (شکل ۳ پ، و شکل ۴ پ). سنگ‌های توفی با ترکیب آندزیت بازالتی تا آندزیتی که دارای میان‌لایه‌های از گدازه‌های آندزیت پورفیری هستند، وسیع‌ترین رخنمون سنگی در منطقه را تشکیل می‌دهند، و سنگ‌های درونگیر توده‌ها و دایک‌های نفوذی به حساب می‌آیند (شکل‌های ۳ الف و ب). توف‌های آندزیت بازالتی دارای بافت پورفیری- میکرولیتی هستند و بلورهای درشت پلاژیوکلاز در زمینه جریانی از ریزبلورهای پلاژیوکلاز، و به مقدار اندکی هورنبلند و پیروکسن قرار گرفته‌اند. اپیدوتی شدن در نمونه واحد توفی در تصویر مشخص است (شکل ۴ الف). در نمونه‌ای از گدازه آندزیت پورفیری، درشت بلورهای پلاژیوکلاز در زمینه دانه‌های ریزی از بیوتیت، پلاژیوکلاز و کوارتز قرار گرفته‌اند (شکل ۴ ب). استوک‌های نیمه عمیق و کوچک گرانودیوریت، دیوریت تا کوارتز دیوریت پورفیری و دایک‌های کوارتز- فلدسپاتی در واحدهای آتشفشانی و آذرآواری ائوسن نفوذ کرده‌اند (شکل‌های ۳ تا ۴). گرانودیوریت از سنگ‌های نفوذی مهم این منطقه است که از کانی‌های پلاژیوکلاز، آلکالی فلدسپار و کوارتز تشکیل شده و بافت گرانولار نشان می‌دهد (شکل ۴ ث). نفوذی‌های دیوریتی دارای بافت پورفیری هستند و از کانی‌های پلاژیوکلاز و هورنبلند تشکیل یافته‌اند، و دگرسانی به کوارتز، بیوتیت، کلریت و سریسیت در آنها مشاهده می‌شود (شکل ۴ ت). رگه‌های سیلیسی اغلب فاقد کانی‌سازی هستند و سنگ‌های آتشفشانی ائوسن و سنگ‌های نفوذی را قطع می‌کنند. رسوبات آبرفتی عهد حاضر در بستر آبراهه‌ها مشاهده می‌شود.

جفت شده القایی- نشر نوری/جرمی (ICP-OES) در آزمایشگاه مرکز تحقیقات فراوری مواد معدنی ایران تجزیه شده است. برای مطالعه ژئوشیمیایی کانسنگ، تعداد ۴۹۱ نمونه سنگ و کانسنگ از گمانه‌های اکتشافی شماره‌های BK-01 و BK-19 که برای عناصر مس، مولیبدن، آهن و روی به روش طیف‌سنجی جذب اتمی (AAS) در آزمایشگاه زرآزم و توسط شرکت ملی صنایع مس تجزیه شده است، استفاده شده است. همچنین تعداد ۴ نمونه از سنگ‌های دگرسان شده به روش پراش‌سنجی اشعه ایکس (XRD)، به منظور شناسایی فازهای کانیایی و مطالعه دگرسانی‌ها در مرکز تحقیقات فراوری مواد معدنی ایران تجزیه شد (لازم به ذکر است که در مطالعه دگرسانی‌ها و تهییه نقشه پهنه‌بندی دگرسانی‌ها از نتایج تعداد زیادی از نمونه‌های مقاطع نازک و XRD شرکت مس، و پردازش داده‌های ماهواره‌ای استفاده شده است). به منظور مطالعه میانبار سیال، بر پایه شواهد کانی‌شناسی، دگرسانی و ژئوشیمی تعداد ۴ نمونه از کانه‌زایی مناطق دگرسانی پتابسیک و فیلیک از مغزه‌های حفاری انتخاب شد، و پس از تهییه مقاطع دوبر صیقلی بر روی کریستال‌های کوارتز در شرکت آذین زمین پویا انجام شده است.

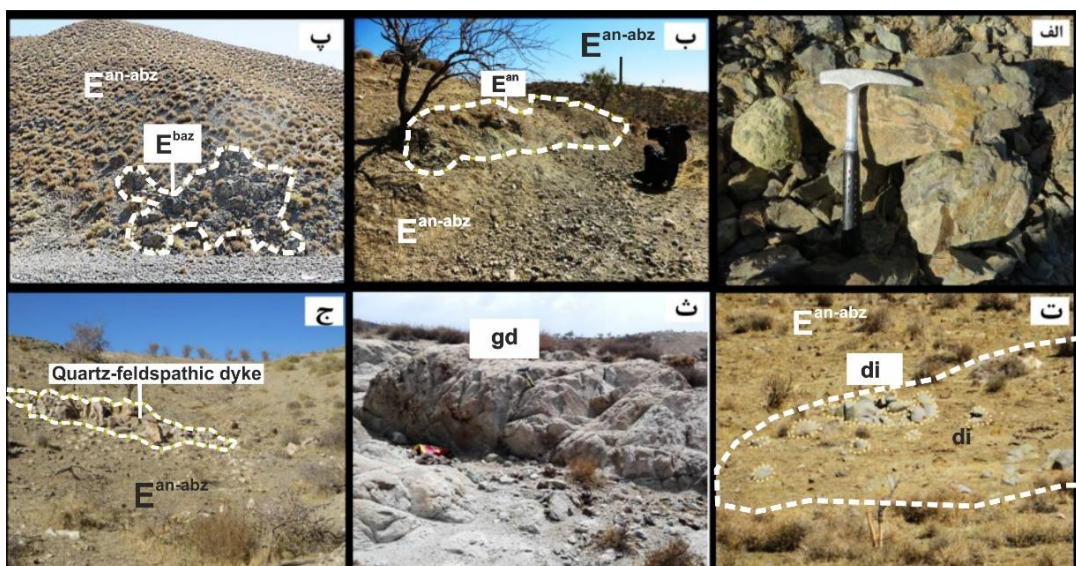
بحث و نتایج

زمین‌شناسی و سنگ‌شناسی

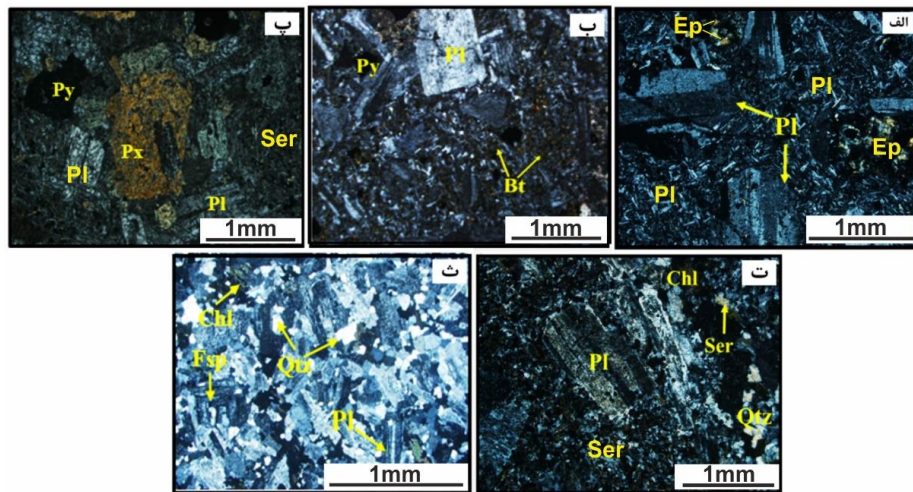
از نظر زمین‌ساختی منطقه مورد مطالعه جزئی از پهنه ایران مرکزی است که در بخش جنوبی کمربند ماقمائی ارومیه- دختر قرار گرفته است (شکل ۱ الف). در منطقه باغ خشک، سنگ‌های آتشفشانی- رسوبی ائوسن، سنگ‌های نفوذی میوسن پسین و نهشته‌های کواترنری رخنمون دارند (شکل ۲).



شکل ۲: نقشه زمین‌شناسی منطقه باغ خشک



شکل ۳: تصاویری از رخمنون واحدهای سنگی در منطقه باغ خشک: (الف) تصویر از پدیده اپیدوتی شدن در واحد توف آندزیت بازالتی، (ب) واحد گدازه آندزیت پورفیری به صورت میان‌لایه درون واحد توف آندزیت بازالتی تا آندزیتی (دید به سمت شمال)، (پ) واحد گدازه بازالتی (دید به سمت شرق)، (ت) رخمنون کوچکی از استوک دیوریت پورفیری (دید به سمت شمال)، (ث) رخمنون توده گرانوڈیوریتی (دید به سمت شرق)، (ج) دایک کوارتز-فلدسباتی با امتداد شرقی-غربی (دید به سمت شمال غرب). E^{an}: گدازه آندزیتی، E^{basz}: گدازه بازالتی، di: دیوریت، gd: گرانوڈیوریت.



شکل ۴: تصاویر میکروسکوپی نور عبوری از سنگ‌های آتشفشاری و نفوذی منطقه: (الف) نمونه توف آندزیت بازالتی با زمینه میکرولیتی-جریانی که در حال اپیدوتی شدن است، ب) درشت بلورهای پلازیوکلاز در زمینه دانه‌ریزی از پلازیوکلاز، بیوتیت و کوارتز در نمونه گدازه‌ی آندزیت پورفیری، پ) نمونه گدازه‌ی بازالتی با بافت گلومروپورفیری، ت) درشت بلورهای پلازیوکلاز به همراه کانی‌های حاصل از دگرسانی (کوارتز، بیوتیت، سریسیت و کلریت) در دیوریت پورفیری، و ث) نمونه گرانودیوریت دارای بافت گرانولار. Pl: پلازیوکلاز، Chl: کلریت، Qtz: کوارتز، Fsp: فلدسپار، Ser: سریسیت، Ep: اپیدوت، Bt: بیوتیت، Px: پیروکسن، Py: پیریت (علام اختصاری کانی‌ها از Whitney and Evans, 2010).

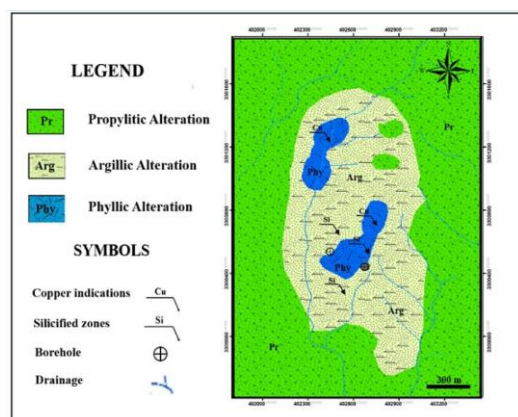
نیست. مطالعه نمونه‌های مغزه‌های حفاری وجود این دگرسانی را در عمق نشان می‌دهد. کانی‌های شاخص دگرسانی پتاسیک شامل آلکالی‌فلدسبار، بیوتیت، کوارتز، کلریت و به مقدار اندکی سریسیت است. مگنتیت، پیریت و کالکوپیریت به صورت‌های دانه‌پراکنده و رگه-رگچه‌ای کانی‌های منطقه شکل دانه‌پراکنده‌ی کانه‌زائی مهم‌تر از نوع رگه-رگچه‌ای است (شکل ۶ الف). در کانسار باع خشک، دگرسانی پتاسیک از نظر کانه‌زائی مهم‌تر از سایر مناطق دگرسانی است. دگرسانی فیلیک به صورت‌های سطحی و زیرسطحی در کانسار باع خشک مشاهده می‌شود. با وجود این، گسترش سطحی آن در مقایسه با دگرسانی‌های پروپیلیتیک و آرژیلیک محدود است. این دگرسانی به سمت خارج به تدریج به دگرسانی آرژیلیک تغییر می‌یابد. دگرسانی فیلیک با رنگ سفید تا خاکستری از کانی‌های کوارتز، سریسیت، پیریت و به مقدار

دگرسانی گرمابی

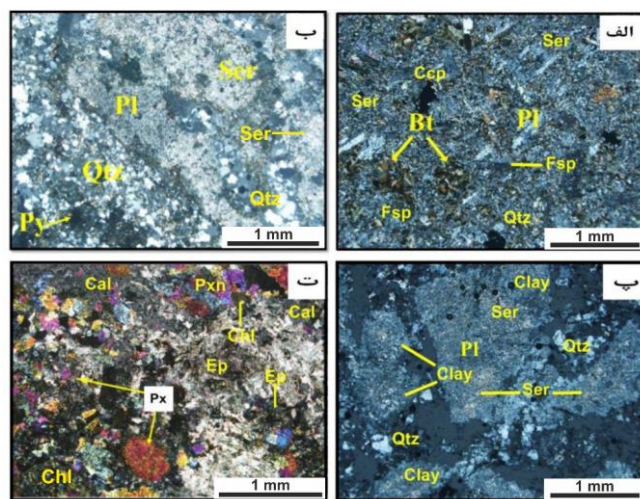
دگرسانی‌ها در منطقه باع خشک از شدت، گسترش و تنوع خوبی برخوردار می‌باشند، و نشان دهنده دگرسانی گرمابی به دو صورت جانشینی کانی‌های قبلی و نهشت مستقیم در فضاهای خالی و شکستگی‌ها است. انواع دگرسانی‌های موجود در منطقه به ترکیب کانی‌شناسی و شیمیابی، میزان تخلخل، شکستگی و واکنش‌پذیری سنگ‌ها، ترکیب شیمیابی، حجم و درجه حرارت سیال گرمابی بستگی دارد. بر پایه مطالعه مقاطع نازک، نمونه‌های پراش اشعه ایکس، و پردازش داده‌های ماهواره‌ای استر، دگرسانی‌ها در این منطقه از داخل به سمت خارج شامل پتاسیک، فیلیک، آرژیلیک و پروپیلیتیک است (شکل ۵). علاوه بر این، دگرسانی‌های کلریتی، سریسیتی، و سیلیسی نیز به صورت محلی مشاهده می‌شوند. در محدوده کانسار مس باع خشک دگرسانی پتاسیک در سطح دیده نمی‌شود، و یا به دلیل گسترش ناچیز قابل تشخیص

اندکی آلبیت، آندزین، ارتوکلاز، کائولینیت، کلینوکلر و پیریت تشکیل شده است (شکل ۶ پ). دگرسانی پروپیلیتیک از گسترش وسیعی در منطقه برخوردار است، و به صورت هاله‌ای مناطق دگرسانی دیگر را در بر می‌گیرد، و از کلریت، اپیدوت، آلبیت، کلسیت و مقدار اندکی کانی‌های رسی، پیریت و هماتیت ترکیب یافته است (شکل ۶ ت).

اندکی کلریت، ایلیت و کلسیت ترکیب یافته است (شکل ۶ ب). کانه‌های پیریت، کالکوپیریت، و بندرت مولیبدنیت، بورنیت، اولیژیست و هماتیت به صورت‌های دانه‌پراکنده و رگه-رگچه‌ای در این دگرسانی وجود دارند. در منطقه فیلیک، بافت رگه-رگچه‌ای کانه‌زائی مهم‌تر از دانه‌پراکنده است. دگرسانی آرزیلیک گسترده است، و از کوارتز، مونتموریلونیت، ایلیت، مسکوویت و به مقدار



شکل ۵: نقشه پهنه‌های دگرسانی در منطقه کانسار مس باع خشک، که دگرسانی‌های آرزیلیک و پروپیلیتیک از گسترش سطحی وسیعی برخوردار هستند.



شکل ۶: تصاویر میکروسکوپی از مناطق مختلف دگرسانی گرمابی: (الف) دگرسانی پتابسیک با مجموعه کانی‌های آلکالی‌فلدیسپار، بیوتیت، کوارتز و کانی‌های کدر (کالکوپیریت، پیریت و مگنتیت)، (ب) دگرسانی فیلیک با مجموعه کانی‌ای کوارتز، سریسیت و پیریت، (پ) دگرسانی آرزیلیک با مجموعه کانی‌های رسی، سریسیت و کوارتز، و (ت) دگرسانی پروپیلیتیک با کانی‌های شاخص اپیدوت، کلریت و کلسیت. Pl: پلاژیوکلاز، Chl: کلریت، Qtz: کوارتز، Fsp: فلدسپار، Cal: کلسیت، Ser: سریسیت، Bt: بیوتیت، Px: پیروکسن، Ccp: کالکوپیریت، Clay: پیروتیت، Ep: کانی‌های رسی. (علائم اختصاری کانی‌ها از Whitney and Evans, 2010).

کانی‌شناسی، ساخت، بافت و توالی پاراژنزی

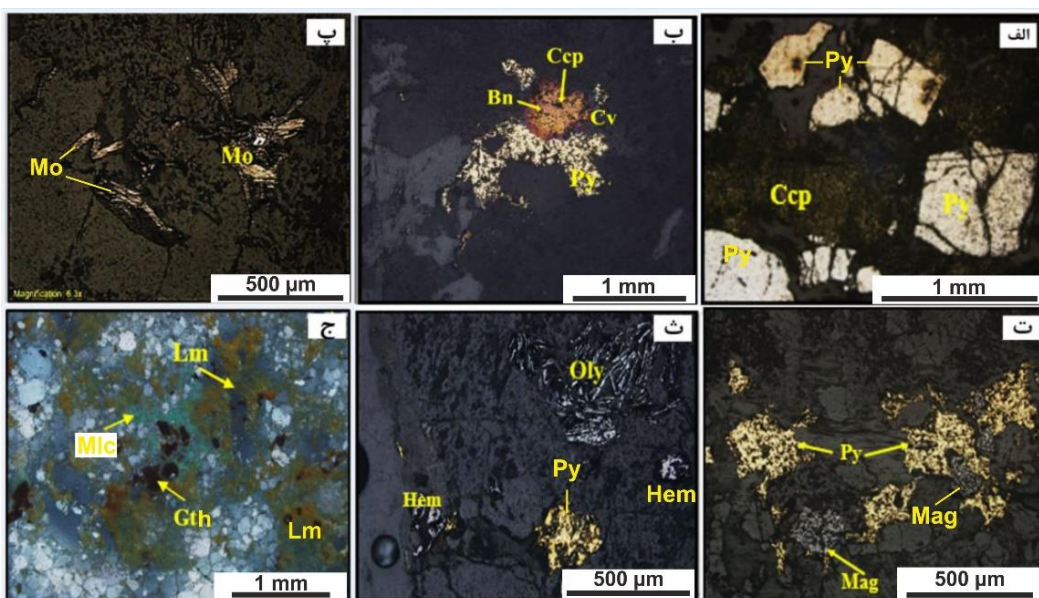
کانی‌های سازنده کانسار مس باغ خشک شامل کانی‌های سولفیدی (پیریت، کالکوپیریت، بورنیت، مولیبدنیت، کالکوسیت و کوولیت)، اکسیدهای آهن (مگنتیت، اولیژیست، هماتیت، گوتیت و لیمونیت)، و مالاکیت است. کانی‌های باطله در این کانسار شامل کوارتز، بیوتیت، فلدسپار، کانی‌های رسی، سریسیت، کلریت، اپیدوت و کلسیت است. فراوان‌ترین کانی‌های سولفیدی منطقه پیریت و کالکوپیریت است که بافت‌های دانه‌پراکنده، رگه‌رگچه‌ای و به ندرت برشی نشان می‌دهند (شکل ۷ الف). کانی بورنیت در پاراژنز کانه‌زایی به مقدار خیلی کم مشاهده می‌شود، و از حاشیه‌ها در حال تبدیل به کالکوسیت است (شکل ۷ ب). مولیبدنیت به شکل تیغه‌ای و دانه‌پراکنده وجود دارد (شکل ۷ پ). مگنتیت به شکل‌های دانه‌پراکنده و رگه-رگچه‌ای حضور دارد و کانی‌های سولفیدی را در منطقه دگرسانی پاتاسیک همراهی می‌کند (شکل ۷ ت). کانه‌های کالکوسیت و کوولیت طی فرایندهای برونزاد و از جانشینی کانه‌های کالکوپیریت و بورنیت تشکیل شده‌اند (شکل ۷ ب). کانی‌های هماتیت و اولیژیست به صورت اولیه طی دگرسانی گرمابی تشکیل می‌شود. هماتیت تحت شرایط برونزاد از اکسیداسیون کانی‌های مگنتیت و سولفیدها نیز به وجود می‌آید (شکل ۷ ث). مالاکیت تنها کانی کربناته مس است که به مقدار خیلی کم در منطقه اکسیداسیون و سطحی کانسار وجود دارد (شکل ۷ ج). در کانسار مس باغ خشک، کانی‌ها به صورت‌های درونزاد و برونزاد تشکیل شده‌اند. از کانه‌های درونزاد می‌توان به مگنتیت، پیریت، کالکوپیریت، مولیبدنیت، بورنیت و اولیژیست اشاره کرد و کانه‌های برونزاد شامل کالکوسیت، کوولیت، مالاکیت، هماتیت، گوتیت و لیمونیت است. بر پایه مطالعه نمونه‌های دستی و میکروسکوپی و با در نظر گرفتن روابط بافتی بین کانی‌ها در کانسار باغ خشک توالی پاراژنزی تهیه شده است (جدول ۱).

جدول ۱: توالی پاراژنیکی کانی‌ها در کانسار مس باغ خشک

Minerals	Stages	Hypogene			Supergene	
		Pre-ore stage	Ore stage (mineralization)		Sulfide (-Eh)	Oxide (+Eh)
			1	2		
Ore minerals	Magnetite	-----				
	Pyrite	-----	—	—		
	Chalcopyrite		—	—		
	Molybdenite			—		
	Bornite			—		
	Chalcocite			—		
	Covellite			—		
	Malachite			—		
	Olygiste			—		
	Hematite			—		
	Goethite			—	—	
Alteration minerals	Secondary alkali-feldspar		----			
	Secondary biotite		—			
	Quartz		—			
	Sericite		—			
	Clay minerals		—		---	---
	Chlorite		---			
	Epidote		---			
	Calcite		—			
Ore textures	Disseminated		—	----		
	Vein- veinlets		----	—		
	Brecciation		----	—		
	Replacement		—	----		

کانه‌زائی سولفیدی که شامل پیریت، کالکوپیریت، بورنیت و مولیبدنیت است و با اولیژیست و هماتیت همراه است (منطقه دگرسانی فیلیک). کانه‌زائی برونزاد نیز به نوبه خود به دو مرحله احیایی (شامل کالکوسیت و کوولیت) و اکسیدی (مالاکیت، هماتیت، گوتیت و لیمونیت) تقسیم شده است.

کانی‌های درونزاد در این منطقه در سه مرحله تشکیل شده است: ۱) مرحله قبل از کانه‌زائی، که مگنتیت و پیریت با منشا ماقمایی و به همراه کانی‌های سنگ‌ساز تشکیل شده است، ۲) مرحله اصلی کانه‌زائی سولفیدی، که شامل پیریت و کالکوپیریت است و با مگنتیت همراهی می‌شوند (منطقه دگرسانی پتابسیک)، و ۳) مرحله تاخیری



شکل ۷: تصاویر میکروسکوپی نور انعکاسی از کانه‌زائی منطقه: (الف) همیافتی پیریت و کالکوپیریت که به شکل دانه‌پراکنده مشاهده می‌شوند، (ب) هم‌رشدی کالکوپیریت و بورنیت که از حاشیه‌ها در حال جانشینی توسط کالکوسیت و کوولیت هستند، (پ) تیغه‌های مولیبدنیت، (ت) همیافتی پیریت و مگنتیت به صورت دانه‌پراکنده، (ث) کانه‌های پیریت، اولیژیست و هماتیت که به صورت‌های دانه‌پراکنده و گاه‌گاه رگچه‌ای وجود دارند، و (ج) مالاکیت، گوتیت و لیمونیت (مالاکیت، گوتیت و لیمونیت) که در مرحله برونزاد تشکیل شده‌اند. Py: پیریت، Ccp: کالکوپیریت، Mo: بورنیت، BN: مولیبدنیت، Cv: مگنتیت، Hem: هماتیت، Oly: اولیژیست، Mal: مالاکیت، Gth: گوتیت، Lm: لیمونیت. (علائم اختصاری کانی‌ها از Whitney and Evans, 2010).

شماره‌های ۵، ۹، ۱۰، ۱۱ و ۱۲ به مقدار کم سیلیسی شده و با کانه‌زایی مس همراه هستند. بنابراین در نامگذاری سنگ‌ها براساس مقدار اکسیدهای اصلی (به ویژه SiO_2) باید با احتیاط عمل کرد. یکی از مهم‌ترین روش‌های طبقه‌بندی شیمیایی سنگ‌ها، استفاده از نمودارهای طبقه‌بندی مجموعه آلکالی $\text{K}_2\text{O} + \text{Na}_2\text{O}$ در برابر SiO_2 است (Middlemost, 1994). طبق این نمودار سنگ‌های

ژئوشیمی
مقادیر غلظت اکسید عناصر اصلی، عناصر کمیاب و کمیاب خاکی ۱۳ نمونه از سنگ‌های آتشفسانی و نفوذی منطقه باغ خشک در جدول ۲ ارائه شده است. در نمونه‌برداری از سنگ‌ها برای مطالعات پترولوزی سعی شد که نمونه‌های سالم، کمترین دگرسانی و فاقد کانه‌زایی انتخاب شود. با وجود این، داده‌های ژئوشیمیایی نشان می‌دهد که نمونه‌های

و همکاران (Brown et al, 1984) که در آن نسبت لگاریتمی Rb/Zr نسبت به لگاریتم Nb آورده شده است، نمونه‌ها در محیط کمان‌های قاره‌ای نرمال قرار می‌گیرند (شکل ۸ ت). الگوی پراکندگی عناصر کمیاب و کمیاب خاکی برای تفسیر تاریخچه تشکیل و ژنز سنگ‌ها و کانسارها کاربرد زیادی دارد (Lottermoser, 1992). در نمودار الگوی پراکندگی عناصر کمیاب و کمیاب خاکی نمونه‌های Thompson (1982) بهنجار شده است، تهی‌شدگی به عناصر با شدت میدان بالا (Zr , Nb , Ti) و غنی‌شدگی به عناصر با شعاع یونی بزرگ (Rb , K , Sr) نمایان است، که از ویژگی‌های ماغماهای کالک‌آلکالن مرتبه با کمان‌های آتشفشنایی است (شکل ۸ ث).

آتشفشنایی منطقه در محدوده آندزیت، داسیت و تراکی داسیت (شکل ۸ الف)، و سنگ‌های نفوذی در محدوده گرانیت تا گرانوودیوریت قرار می‌گیرند (شکل ۸ ب). لازم به ذکر است بر پایه مطالعات سنگ‌نگاری این نمونه‌ها گرانوودیوریت نامگذاری شده‌اند، و قرارگیری تعدادی از نمونه‌ها در نمودار شکل (۸ ب) در محدوده گرانیت به دلیل دگرسانی و سیلیسی شدن آنها است. تعیین سری ماغمایی و جایگاه تکتونیکی سنگ‌ها از مهم‌ترین مباحثی هستند که در اکتشاف کانسارها مورد استفاده قرار می‌گیرند. محیط تکتونیکی تعیین‌کننده نوع ماغما و خود ماغما نیز نوع کانه‌زایی را مشخص می‌کند. براساس نمودار مثلثی Irvine and AFM (Baragar, 1971) نمونه‌های سنگ‌های آتشفشنایی منطقه باع خشک از نوع سری کالک‌آلکالن می‌باشند (شکل ۸ پ). همچنین براساس نمودار براون

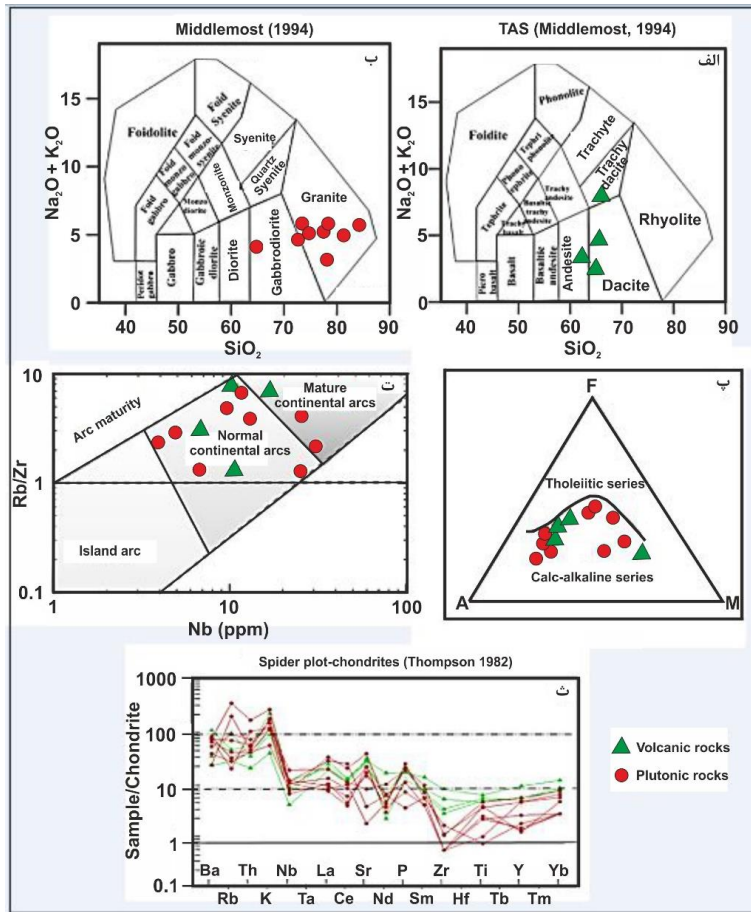
جدول ۲: مقدار اکسید عناصر اصلی (درصد وزنی)، عناصر کمیاب و کمیاب خاکی (گرم در تن) در ۱۳ نمونه سنگ .ICP-OES/MS و XRF با استفاده از روش‌های

Sample	BK. G1	BK. G2	BK. G3	BK. G4	BK. G5	BK. G6	BK. G7	BK. G8	Bk. G9	BK.G 10	BK.G 11	BKG. 12	BKG. 13
Major oxides (wt.%)													
SiO_2	۶۰/۵۱	۶۴/۶۱	۷۲/۵۵	۶۳/۹۷	۸۴/۱۲	۶۴/۴۷	۶۴/۹۸	۷۴/۶۷	۷/۵۹	۷۸/۳۹	۶۲/۹۱	۸۰/۹۶	۷۲/۳۳
Al_2O_3	۱۴/۷۱	۱۲/۸۱	۱۰/۷۵	۱۲/۷۹	۸/۹۵	۱۳/۳۷	۱۳/۴۱	۱۲/۴۵	۹/۴۸	۷/۹۳	۱۱/۲۶	۱۰/۷۳	۱۰/۲۲
Fe_2O_3	۹/۶۷	۷/۴۹	۵/۱۱	۸/۹۷	۰/۵۳	۸/۱۴	۶/۹۹	۳/۳۱	۲/۹۱	۷/۶۶	۲/۵۶	۰/۲۶	۲/۹۱
MgO	۳/۲	۲/۸۷	۱/۸۷	۳/۷۸	۰/۱۷	۳/۱	۱/۴۳	۰/۴۸	۱/۱۷	۱/۵۷	۱/۴۷	۰/۱۷	۱/۲۸
CaO	۷/۸۷	۴/۹۴	۴/۴۹	۷/۱۸	۰/۲۸	۶/۲	۴/۸	۳/۴۳	۱/۸۱	۰/۶۴	۲/۶۶	۲/۹۳	۲/۶۵
Na_2O	۱/۹۱	۴/۷۷	۳/۰۲	۲/۰۶	۱/۶۴	۲/۹۹	۴/۱۴	۳/۱	۲/۹۱	۰/۱۶	۳/۰۵	۲/۹۵	۲/۸۶
K_2O	۱/۴۳	۱/۷۱	۱/۶۱	۰/۶۵	۴/۱۶	۰/۹	۳/۴۸	۱/۹	۲/۷	۲/۸۱	۱/۸۲	۱/۷۴	۲/۴۴
TiO_2	۰/۷۹	۰/۵۹	۰/۳۹	۰/۶۹	۰/۱	۰/۵۹	۰/۶۲	۰/۴۷	۰/۱۲	۰/۴۹	۰/۲۹	۰/۱۳	۰/۲۹
P_2O_5	۰/۲۱	۰/۲۵	۰/۱۶	۰/۱۶	۰/۰۵	۰/۲۵	۰/۲۵	۰/۲۳	۰/۱۴	۰/۳	۰/۱۴	۰/۰۹	۰/۱۴
MnO	۰/۲۳	۰/۱۳	۰/۱۳	۰/۱۷	۰/۲۲	۰/۱۵	۱/۰۷	۰/۰۶	۰/۰۲	۰/۴۸	۰/۰۹	۰/۲۵	۰/۴۵
Trace elements (ppm)													
As	۲۰/۲۲	۸۱/۲۳	۷/۵۸	۹/۷۳	۳/۱۹	۸/۹۶	۱۹/۷۳	۶/۲۳	۷/۳	۶/۷۹	۶/۴۳	۷/۱۶	۶/۱
Ba	۲۷۱/۱	۶۰۱/۷	۳۸۰/۷	۱۸۲/۸	۵۹۰/۳	۳۰۰/۶	۸۱۲/۶	۵۳۸/۷	۶۲۷/۶	۱۸۸	۴۹۸/۴	۴۱۴	۵۶۶/۶
Be	۱/۲۱	۰/۷۲	۰/۲۶	۰/۵۹	۰/۷۸	۱/۲۶	۰/۷۱	۱/۷۵	۱/۴	۱/۶۶	۲/۰۳	۰/۳۳	۰/۵۳
Co	۲۰/۴۵	۲۰/۲۶	۱۰/۶۷	۲۶/۵۵	۱	۱۹/۵۷	۱۵/۵۱	۷/۷۱	۱/۱۲	۲۱/۸۸	۸/۱۱	۱۰/۷	۱۱/۸۲

	۱۸/۳۸	۳۴/۴۱	۳۷/۵۹	۵۵/۸۳	۲۱/۶۹	۳۸/۰۱	۴۱/۶۴	۸۰	۴/۱۴	۷	۵۷/۶۴	۴۶/۰۲	۱۱۶/۱	۶۰/۲۱
Cr														
Cs	۱/۶	۰/۷۵	۱/۱۳	۰/۷۵	۴/۳۴	۰/۷۵	۱/۲۳	۰/۷۵	۰/۷۵	۴/۵۹	۲/۵۵	۲/۹۷	۱/۴۶	
Cu	۲۰/۳/۹	۱۵۴/۶	۵۸/۷۸	۸۶/۲	۱۱/۴۶	۲۴/۷۷	۹۵/۶۴	۶۶۴/۳	۳۱۲۰	۹۳۴۷	۳۶۴۰	۸۰/۴۳	۳۶۲۶	
Li	۸/۰۲	۴/۰۲	۲/۶۸	۵/۰۶	۶/۷۶	۳/۱	۲/۶۵	۳	۲/۲۷	۱۷/۷۴	۸/۴۲	۶/۷۱	۶/۷۲	
Mo	۳/۶۵	۲/۵۲	۱/۵۴	۰/۷۵	۱/۹۹	۰/۷۵	۲/۲۹	۱/۲۹	۰/۷۵	۶/۹۶	۲۰/۲	۱۶۷۹	۵۶/۶۴	
Nb	۲/۹۲	۳/۸	۴/۲۱	۱/۷۵	۴/۷۲	۳/۳	۴/۸۷	۷/۶۲	۴/۹۲	۳/۳۹	۴/۳۶	۲/۷۷	۴/۳۸	
Ni	۱	۴/۰۱	۴/۶۱	۹/۸۸	۱	۸/۴۹	۲/۹۶	۱	۱	۴/۷۵	۱	۱	۱	
P	۰/۰۹	۰/۱۱	۰/۰۷	۰/۰۷	۰/۰۲	۰/۱۱	۰/۱۱	۰/۱	۰/۰۶	۰/۱۳	۰/۰۶	۰/۰۴	۰/۰۶	
Pb	۶۹/۳۲	۶۵/۰۶	۴۳/۴۴	۴۱/۶۷	۲۵/۲۱	۴۴/۷۷	۵۶/۹۳	۳۸/۳	۵/۹۸	۱۳/۷۹	۳۰/۰۷	۲۴/۰۹	۳۱/۵۵	
S	۰/۱۳	۰/۰۷	۰/۰۷	۰/۱۴	۰/۰۷	۰/۰۷	۰/۲۶	۰/۰۷	۰/۱۶	۱/۷۸	۰/۵۳	۰/۱۳	۰/۹۴	
Sc	۵۲/۱۷	۱۳/۶۱	۶/۷۹	۲۱/۰۷	۱/۲۶	۱۱/۷۹	۱۲/۲۵	۵/۶۸	۴/۵۲	۹/۴۳	۵/۳۲	۲/۰۲	۴/۶	
Sr	۳۸۴/۸	۳۶۸	۳۲۷/۱	۳۶۲/۶	۵۵/۲۸	۵۱۹/۶	۴۱۵	۱۱۴/۴	۲۰/۵	۲۶/۶۲	۲۹۴/۷	۲۳۰	۲۸۹/۶	
Rb	۳۶/۹۳	۱۲/۳۷	۱۲/۸۵	۱۱/۱۹	۱۳۱/۱	۱۱/۰۳	۱۸/۳۱	۸/۱۶	۱/۷۷	۷۴/۶۴	۱۶/۲	۳۴/۹۱	۲۶/۶۶	
Sn	۱/۵۶	۱/۵۴	۱/۴۱	۱/۰۱	۲/۴۳	۱/۵۷	۱/۹۹	۲/۱	۴/۴۳	۲/۴۹	۱/۱۸	۱۲/۴۹	۱/۷۹	
Th	۱/۶۶	۱/۹۳	۱/۹۲	۱	۷/۶۳	۱/۹۷	۲/۵۴	۴/۷۱	۲/۵۱	۲/۱۹	۱/۹۷	۳/۳۵	۲/۶۵	
V	۲۸۷/۳	۲۰۸	۱۱۲/۷	۲۸۷/۴	۱۵/۵۵	۲۰۰/۹	۱۹۴/۷	۵۹/۲۴	۷/۹۳	۲۰/۱۳	۷۰/۷۱	۲۱/۹۱	۶۴/۱۱	
Y	۲۲/۱۶	۱۳/۴۸	۹/۵۷	۱۲/۲۵	۴/۴۹	۱۳/۵۱	۱۳/۳۳	۱۱/۱۶	۳/۴۹	۳/۱۸	۳/۷۶	۱۱/۴۸	۶/۳۷	
Zn	۷۴/۶۶	۹۵/۲۹	۶۶/۱۸	۸۸/۴۸	۳۱/۴۲	۶۰/۵۶	۷۱/۹۴	۵۳/۲۹	۲۰/۵	۱۰۹/۷	۳۷/۴۲	۱۶/۰۱	۳۸/۴۲	
Zr	۶۵/۹۳	۴۳/۵۶	۵	۲۸/۶۱	۱۴/۲۳	۹/۵۱	۲۴/۸۲	۹/۸	۵	۵	۵	۵	۵	
Rare earth elements (ppm)														
La	۱۰/۹۴	۹/۲۱	۶/۶۷	۷/۱۱۴	۱۰/۵۲	۱۲/۴۸	۷/۷۵	۷/۴۱	۳/۷۱	۳/۲۵	۲/۹۵	۴/۰۴	۵/۰۴	
Ce	۱۳/۲۵	۱۳	۱۰/۲۵	۱۰/۸۳	۴۷۲۴	۲۰/۳۹	۱۲/۰۳	۱۱/۲۱	۶/۱۸	۱۰/۱	۴/۲۴	۴/۷۹	۸/۵۷	
Pr	۲/۶۵	۱/۸۶	۱/۳۷	۱/۵۵	۲/۲۹	۲/۶	۱/۵۸	۱/۷	۱	۱/۴۳	۱	۱	۱۲	
Nd	۱۲/۲۱	۳/۸	۴/۲۱	۱/۷۵	۴/۲۲	۳/۳	۴/۸۷	۷/۶۲	۴/۹۲	۳/۳۹	۲/۳۱	۲/۸۷	۴/۸	
Sm	۳/۲۷	۲/۰۳	۱/۳۴	۱/۷۷	۱/۳۸	۲/۳۴	۱/۶۶	۱/۷۴	۱	۱/۳۵	۱	۱	۱	
Gd	۳/۵۸	۲/۰۱	۱/۴۱	۲/۰۸	۱/۰۳	۲/۴۹	۱/۹۱	۱/۸۴	۱	۱/۰۹	۱	۱/۱۵	۱/۱۰	
Dy	۳/۸۹	۲/۱۹	۱/۵۵	۲/۱۷	۰/۷۵	۲/۳۷	۲/۳۴	۲/۱۵	۰/۷۵	۱/۱	۰/۷۵	۱/۹۴	۱/۲۵	
Yb	۳/۱	۱/۹۹	۱/۳۸	۲/۱۲	۰/۷۵	۲	۲/۲۵	۱/۵۱	۰/۷۵	۱/۲۷	۰/۷۵	۱/۷۱	۰/۷۵	

در جدول ۳ آورده شده است. با توجه به نتایج، عیارهای کمینه، میانگین و بیشینه عناصر به ترتیب عبارتند از ۰/۰۰۷، ۰/۱۹ و ۰/۰۵ و ۰/۰۵ درصد مس، ۰/۴۲ و ۰/۲۵ و ۱۸۸۶ گرم در تن مولیبدن، ۱، ۵۰ و ۲۴۷ گرم در تن روی، و ۰/۶۰، ۳/۴۰ و ۱۰/۸۰ درصد آهن است.

در منطقه باغ خشک، مطالعه ژئوشیمی کانسنگ براساس مقادیر غلط عناصر مس، مولیبدن، روی و آهن در ۴۹۱ نمونه سنگ و کانسنگ از دو گمانه اکتشافی انجام شده است. پارامترهای آماری این عناصر شامل مقادیر کمینه، بیشینه، میانگین، میانه، نما، واریانس، چولگی و کشیدگی محاسبه شده و



شکل ۸: (الف و ب) طبقه‌بندی سنگ‌های آذرین منطقه با استفاده از نمودار میدل‌موست (Middlemost, 1994)، (پ) براساس نمودار مثلثی AFM (Irvine and Baragar, 1971) نمونه‌های منطقه در محدوده سنگ‌های کالک‌آلکالن قرار می‌گیرند، (ت) تعیین جایگاه تکتونیکی سنگ‌های منطقه با استفاده از نمودار (Brown et al, 1984) که نمونه‌ها در محدوده کمان‌های آتشفسانی حاشیه قاره‌ای نرمال واقع شده‌اند، و (ث) الگوی عنصر کمیاب نمونه‌ها که به کندریت به هنجار شده است، تهیی شدگی به Rb , K , Sr , Nb , Ti , Zr و غنی شدگی به Rb , K , Sr , Ti (Thompson, 1982) نمایان است.

جدول ۳: پارامترهای آماری عناصر بر پایه داده‌های ژئوشیمیایی ۴۹۱ نمونه لیتوژئوشیمیایی از ۲ حلقه گمانه اکتشافی

آماره‌ها	Cu (%)	Mo (ppm)	Zn (ppm)	Fe (%)
میانگین	۰/۱۹	۲۴/۸۵	۴۹/۸۸	۳/۴۰
میانه	۰/۱۶	۶	۴۶	۲/۷۸
نما	۰/۲۲	۳	۴۳	۱/۸۱
واریانس	۰/۰/۷	۹۳۹۶/۳۹	۳۸۳/۸۱	۳
چولگی	۱۲/۲۴	۱۵/۱۱	۴/۲۱	۱/۱۰
کشیدگی	۲۱۳/۲۴	۲۸۴/۰۶	۳۶/۳۸	۰/۵۶
کمینه	۰/۰/۷۲	۰/۴۲	۱	۰/۶
بیشینه	۵/۰/۵	۱۸۸۵/۹	۲۴۷	۱۰/۷۹

همبستگی پیرسن که تابع توزیع نرمال می‌باشد، استفاده شده است، که نتایج آن به صورت ماتریس

برای محاسبه مقادیر ضرایب همبستگی میان عناصر در منطقه باغ خشک از تابع ضریب

و روی به عنوان عنصر ردیاب کانسارهای پورفیری با مس و مولیبden همبستگی منفی نشان می‌دهد. چنین همبستگی ژئوشیمیایی از کانسارهای مس (مولیبden) پورفیری انتظار می‌رود (Sillitoe, 2010).

ضرایب همبستگی در جدول ۴ آورده شده است. این ماتریس با استفاده از نتایج آنالیز شیمیایی ۴۹۱ نمونه لیتوژئوشیمیایی از ۲ گمانه اکتشافی باغ خشک محاسبه شده است. به طوری که از داده‌های جدول پیدا است مس با مولیبden (به عنوان عناصر معرف کانسارهای پورفیری) دارای همبستگی مثبت

جدول ۴: مقادیر ضرایب همبستگی به روش پیرسن بر پایه لگاریتم داده‌های ژئوشیمیایی ۴۹۱ نمونه سنگ از ۲ گمانه اکتشافی.

Cu	۱			
Mo	.۰/۴۰	۱		
Zn	-۰/۰۵	-۰/۱۰	۱	
Fe	-۰/۵۰	-۰/۴۰	.۰/۳۴	۱
Element	Cu	Mo	Zn	Fe

میانبارهای سیال در نمونه‌ها بیشتر به صورت‌های نگاتیو کریستال (۳۶ درصد حجمی)، بی‌شکل (۲۲ درصد حجمی)، نیمه‌شکل (۲۱ درصد حجمی)، کشیده (۱۴ درصد حجمی) و شکل‌دار (۹ درصد حجمی) می‌باشند. نبود شکل خاص در میانبارها می‌تواند نشان دهنده این باشد که فضاهای بین سطوح بلوری که باعث به تله افتادن میانبارها شده‌اند، دارای شکل مشخصی نبوده‌اند. اندازه میانبارهای سیال در کوارتز از کانسار مس باغ خشک، از کمینه ۳ تا بیشینه ۳۰ میکرون تغییر می‌کند و بیش از ۷۰ درصد میانبارها دارای اندازه بیش از ۵ میکرون هستند. از نظر رده‌بندی ژنتیکی، توزیع میانبارهای سیال در نمونه‌های باغ خشک به صورت‌های اولیه، ثانویه و ثانویه کاذب مشاهده شده‌اند (شکل ۹). براساس تعداد فازهای موجود در دمای اتاق، میانبارهای سیال کانسار باغ خشک در سه گروه متفاوت جای گرفته‌اند: ۱) میانبارهای دو فازی غنی از مایع (L+V) که از یک فاز مایع به همراه یک فاز بخار تشکیل شده‌اند. حباب بخار در این نوع بین ۵ تا ۴۵ درصد حجم کل

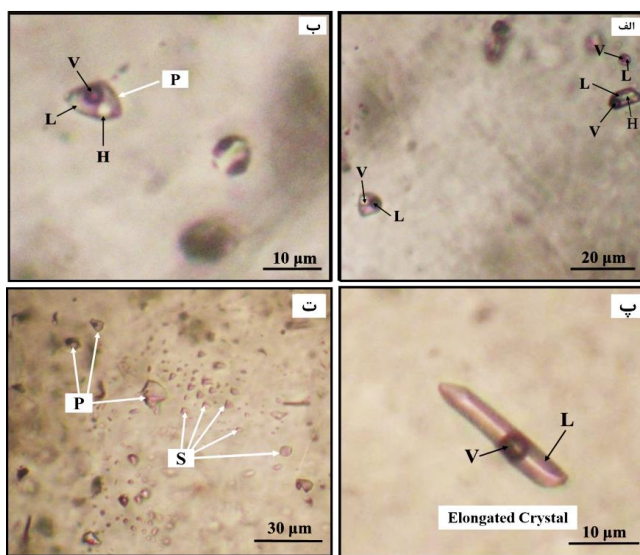
مطالعه میانبارهای سیال در کانسار مس باغ خشک، کوارتز تنها کانی شفاف و مناسب برای مطالعه میکروترمومتري میانبارهای سیال است. بنابراین پس از مطالعه کانی‌شناسی مقاطع نازک و نازک-صيقلي تعداد ۴ عدد نمونه کانسنگ از معزه‌های حفاری مربوط به مناطق دگرسانی پتابسيك و فيليک جهت مطالعه میانبارهای سیال انتخاب شد. مطالعات پتروگرافی و حرارت‌سنجی میانبارهای سیال بر روی ۴ نمونه BK-TP-17، BK-TP-21، BK-TP-13 (BK-TP-23) در آزمایشگاه شرکت مطالعات و پژوهش آذین زمین پویا با استفاده از یک دستگاه میکروسکوپ ستی متکس (Ceti Metex) و به وسیله دستگاه Linkam مدل THMSG600 با کنترل کننده‌های گرمایش TP94 و سرمایش LNP که بر روی میکروسکوپ ستی متکس نصب شده است، انجام پذيرفت. مطالعات حرارت‌سنجی براساس مشاهده دقیق و تشخیص تغییرات فازی میانبارهای سیال، طی مراحل سرمایش و گرمایش بنا شده است. به طور کلی از لحظه شکل ظاهری،

به ترتیب از ۱۰ تا ۲۰ درصد متغیر است (شکل ۹ الف و ب). وجود فازهای جامد مثل هالیت بیانگر این است که میزان شوری سیال کانه‌ساز در این منطقه به نسبت زیاد است. میانبارهای سیال LV، LVH و VL به ترتیب ۵۵، ۳۱ و ۱۴ درصد از حجم کل میانبارهای سیال را در سامانه باع خشک تشکیل می‌دهند. داده‌های ریزدماسنجری میانبارهای سیال کوارتز در کانسار مس باع خشک در جدول ۵ داده شده است.

میانبار را در بر گرفته است (شکل ۹ پ). این نوع میانبارها در حدود ۵۵ درصد حجم کل میانبار هستند، ۲) میانبارهای دو فازی غنی از بخار (V+L)، که از یک فاز بخار به همراه یک فاز مایع تشکیل شده‌اند و حباب بخار در آنها از ۶۰ تا ۹۵ درصد حجم کل میانبار را اشغال می‌کند، ۳) میانبارهای سه فازی هالیت‌دار (L+V+H) که از یک فاز مایع به همراه یک فاز بخار و یک بلور هالیت تشکیل شده‌اند که حجم بخار و هالیت در این نوع

جدول ۵: داده‌های ریزدماسنجری میانبارهای سیال کانی کوارتز در کانسار مس باع خشک.

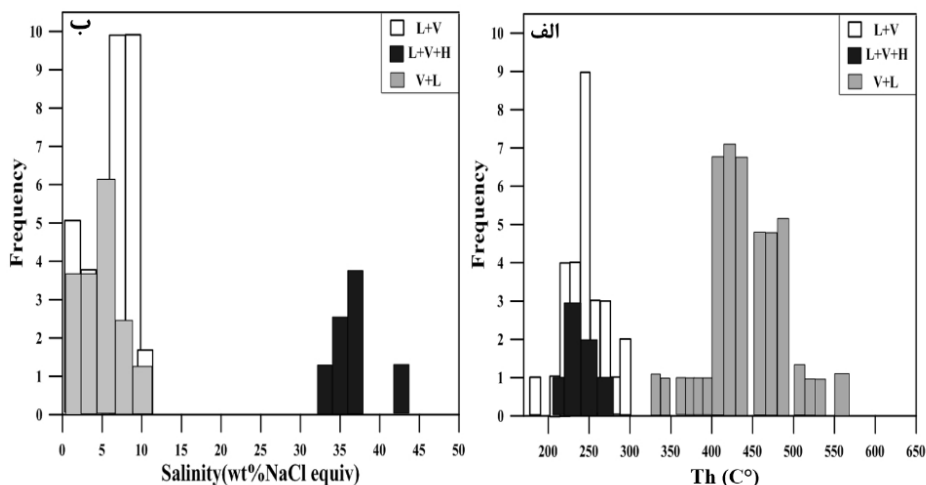
شماره نمونه	کانی	منطقه دگرسانی	نوع میانبار سیال	دهمین شدن (°C)	دهمای اوتکتیک (°C)	دهمای ذوب نهایی (°C)	شوری wt. % (NaCl eq.)
BK-TP-13	کوارتز	منطقه پتاسیک	اولیه	۴۸۷/۹ تا ۲۰۲/۶ تعداد=۱۶	-۵۲/۳ تا -۳۰/۴	-۷/۶ تا -۲/۴	۴/۰۳ ۴۲/۶۳
BK-TP-17	کوارتز	منطقه پتاسیک	اولیه	۵۶۴/۹ تا ۱۸۸/۶ تعداد=۱۵	-۵۱/۱ تا -۳۱/۵	-۶/۳ تا -۰/۵	۰/۸۸ ۳۸/۸۶
BK-TP-21	کوارتز	منطقه فیلیک	اولیه	۴۸۷/۹ تا ۱۷۸/۹ تعداد=۱۲	-۳۶/۸ تا -۳۰/۵	-۶/۵ تا -۰/۵	۰/۸۸ ۹/۸۶
BK-TP-23	کوارتز	منطقه پتاسیک	اولیه	۵۴۷/۵ تا ۲۲۳/۲ تعداد=۱۴	-۴۲/۹ تا -۳۰	-۰/۶ تا -۰/۲	۰/۳۵ ۹/۳۶



شکل ۹: الف و ب) میانبارهای سیال اولیه (P) دارای فازهای مایع (L)، بخار (V) و هالیت (H)، پ) میانبارهای سیال اولیه دارای فازهای مایع (L) و بخار (V)، و ت) میانبارهای سیال اولیه (P) و ثانویه (S).

۳۳۱ تا ۵۶۵ درجه سانتی‌گراد (میانگین 448°C) و همچنین در میانبارهای سه فازی هالیت‌دار (H+L+V) تغییرات دمای همگن‌شدگی بین ۷۰ تا ۲۷۶ درجه سانتی‌گراد (میانگین 241°C) است. نمودار شکل (۱۰ ب) نتایج مطالعات سرمایش را نشان می‌دهد که تغییرات درجه شوری میانبارهای سیال در میانبارهای دو فازی مایع و بخار (L+V) بین ۰/۳۵ تا ۱۰/۲۴ (میانگین $6/07$) درصد وزنی معادل نمک طعام، در میانبارهای دو فازی بخار و مایع (V+L) بین ۰/۸۸ تا ۱۱/۲۲ (میانگین $10/10$) درصد وزنی معادل نمک طعام و همچنین در میانبارهای سه فازی هالیت دار (H+V+L) شوری بین ۳۳/۵۵ تا ۴۲/۶۶ (میانگین $36/61$) درصد وزنی معادل نمک طعام در تغییر است.

دماهی همگن‌شدن در مجموعه میانبارهای سیال بین ۱۸۰ تا ۵۶۵ (میانگین 306) درجه سانتی‌گراد است. مقدار شوری $0/35$ تا $42/61$ (میانگین $9/99$) درصد وزنی معادل نمک طعام تغییر می‌کند که حاکی از شوری پایین تا متوسط است، نبود فاز دختر در این سیالات نیز تأکیدی بر شوری متوسط تا پایین است (Roedder, 1984) و می‌تواند ناشی از اختلاط سیال ماقمایی با آب‌های جوی باشد (Barnes, 1997). نمودار شکل (۱۰ الف) نتایج مطالعات گرمایش سیالات را نشان می‌دهد که تغییرات دمای همگن‌شدن میانبارها به فاز مایع، در میانبارهای دو فازی مایع و بخار (L+V) بین 234°C ، ۱۸۰ تا ۲۸۹ درجه سانتی‌گراد (میانگین 241°C)، در میانبارهای دو فازی بخار و مایع (V+L) بین



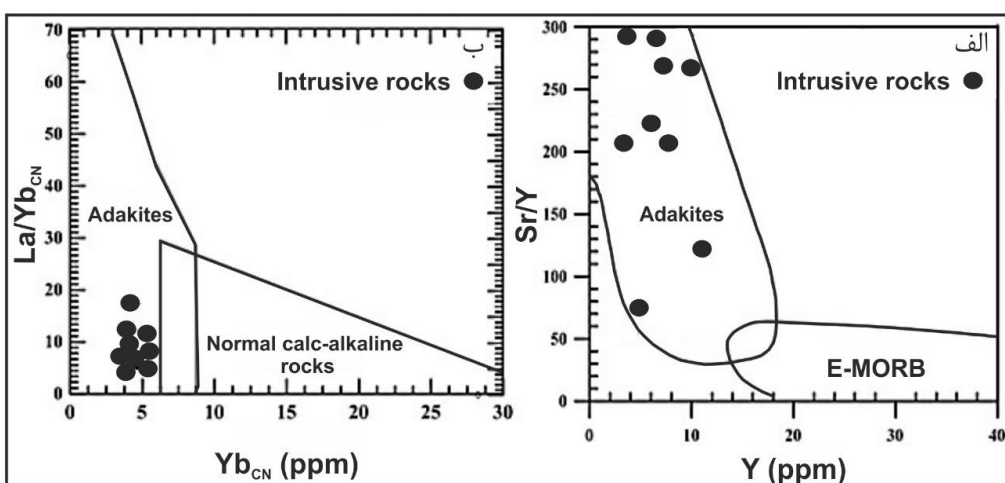
شکل ۱۰: نمودار هیستوگرام فراوانی دما و شوری میانبارهای سیال در کانسار مس باع خشک: (الف) درجه حرارت همگن‌شدن، و (ب) شوری.

مس-مولیبدن پورفیری، رگهای اپیترمال و رگهای چندفلزی ارتباط زایشی دارند (Sajona et al., 2000). اغلب پورفیری‌های آداسکیتی در نمودار (Irvine and Baragar, 1971) از نظر سری ماقمایی، کالک‌آلکالن هستند. ویژگی‌های ژئوشیمیایی گرانودیوریت‌های منطقه باع خشک با

ماهیت ماقمایی آداسکیتی آداسکیت‌ها ماقمایی با ترکیب فلزیک تا حدود است هستند که از ذوب بخشی پوسته اقیانوسی فرورونده (Defant and Drummond, 1990) تولید می‌شوند. توده‌های نفوذی که دارای گرایش آداسکیتی هستند، از نظر زمانی و مکانی با کانسارهای مس-طلاء و

(کمتر از ۱۸ گرم در تن)، متوسط Yb (کمتر از ۱/۸ گرم در تن)، و نسبت Sr/Y (بیش از ۲۰) مشابه آدکیت‌ها هستند. اگر مقدار Al_2O_3 و Na_2O در برخی از نمونه‌ها متفاوت از آدکیت‌ها است به احتمال خیلی زیاد به خاطر دگرسانی است. در نمودارهای تغییرات میزان Y/Sr در مقابل Y (شکل ۱۱ الف) و تغییرات La/Yb در مقابل Yb (شکل ۱۱ ب) نمونه‌های سنگ‌های نفوذی منطقه باع خشک در محدوده ماقماهای آدکیتی واقع شده‌اند.

Martin et al., (Martin et al., 2005; Richards and Kerrich, 2007) مقایسه شده است. گرانودیوریت‌های باع خشک با مقدار متوسط SiO_2 (بیش از ۶۰ درصد وزنی)، متوسط MgO (بیش از ۱۰ درصد وزنی)، متوسط Al_2O_3 (بیش از ۳ درصد وزنی)، متوسط Na_2O (بیش از ۳ درصد وزنی)، متوسط K_2O (کمتر از ۳ درصد وزنی)، متوسط Cr (بیش از ۳۰ گرم در تن)، متوسط Sr (بیش از ۳۰۰ گرم در تن)، متوسط Y



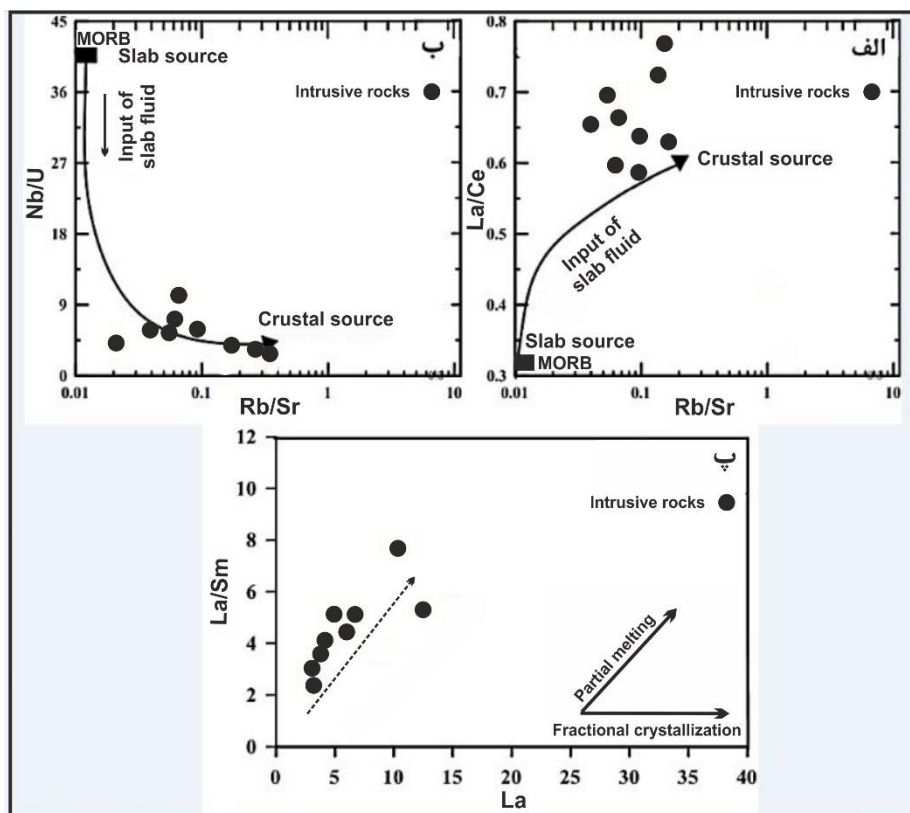
شکل ۱۱: نمودارهای تفکیک کننده سنگ‌های کالک‌آلکالن معمولی از آدکیت‌ها برای سنگ‌های نفوذی منطقه باع خشک: (الف) تغییرات میزان Y/Sr در مقابل Y (Defant and Drummond, 1990)، (ب) نمودار La/Yb در مقابل Yb (Reich et al., 2003)، که نمونه‌ای منطقه باع خشک در میدان آدکیت‌ها قرار گرفته‌اند.

سرچشم، میدوک و ...) از ذوب بخشی پوسته زیرین ضخیم شده تشکیل شده است، در حالی که سامانه‌های ماقمایی غیرآدکیتی نیمه‌بارور تا نابارور از قبیل کانه‌زایی مس بندر هنزا در جنوب شرق کرمان با ذوب بخشی پوسته زیرین نخستین همراه است که از فرورانش لیتوسفر اقیانوسی نتوتیس به سمت شمال خاور به وجود آمده‌اند (Mohebi et al., 2020). براساس نمودار La/Sm-La امکان تشخیص اینکه ماقما به واسطه ذوب بخشی یا تبلور بخشی تشکیل شده است، وجود دارد. در طول ذوب بخشی و La/Sm مذاب افزایش می‌یابد، در حالی که

بر پایه نمودارهای تغییرات Rb/Sr در مقابل La/Ce (Hofmann et al., 1986) و تغییرات Rb/Sr در مقابل U/Nb (Hou et al., 2004)، ماقماییسمی که سبب تولید ماقمای اولیه کانسار باع خشک شده است حاصل ترکیبی از مذاب ناشی از ذوب پوسته اقیانوسی با مذاب ناشی از ذوب پوسته قاره‌ای زیرین ضخیم شده می‌باشد، در این میان سهم پوسته قاره‌ای زیرین بیشتر از پوسته اقیانوسی است (شکل ۱۲ الف و ب). از اینرو، سامانه ماقمایی باع خشک همانند دیگر سامانه‌های ماقمایی آدکیتی بارور در کمربند ارومیه- دختر (مانند سامانه‌های پورفیری

فرایند غالب در طول تکامل ماغما در منطقه باع خشک بوده است. به عبارتی سنگ‌های نفوذی این منطقه متحمل تبلور بخشی نشده، و فازهای پایانی یک مدل ذوب بخشی را انعکاس می‌دهند.

در فرایند تبلور بخشی La/Sm ثابت می‌ماند اما افزایش می‌یابد (Han et al, 2018). همبستگی مثبت معنی‌داری که میان La/Sm و La در نمونه‌های مورد مطالعه وجود دارد (شکل ۱۲ پ)، پیشنهاد می‌کند که ذوب بخشی به احتمال زیاد



شکل ۱۲: الف و ب) نمودارهای Rb/Sr در مقابل Nb/U و La/Ce در مقابل Rb/Sr (Hofmann et al, 1986; Hou et al, 2004) (نقش پوسته قاره‌ای در تشکیل کانسار باع خشک برجسته است، پ) نمودار La/Sm در مقابل La (Han et al, 2018) که نقش فرایند ذوب بخشی را در تکامل سامانه باع خشک نشان می‌دهد.

سنگ میزبان ایجاد نمی‌شود. اگر استوک پورفیری در عمق زیادی قرار داشته باشد، گرادیان زمین گرمایی با شیب ملایم از استوک کاهش می‌یابد و شرایط برای پایداری کمپلکس‌ها نیز فراهم می‌شود و بنابراین قسمت زیادی از کانه‌زایی در سنگ‌های میزبان رخ می‌دهد. در هر یک از این موارد، اگر سیالات حامل فلزات از محیط خارج شوند، هیچ کانسار اقتصادی تشکیل نمی‌شود (John et al, 2010). در کمربند مس کرمان، کانسار بزرگ مس

ویژگی‌ها و تکامل سیالات کانسارساز

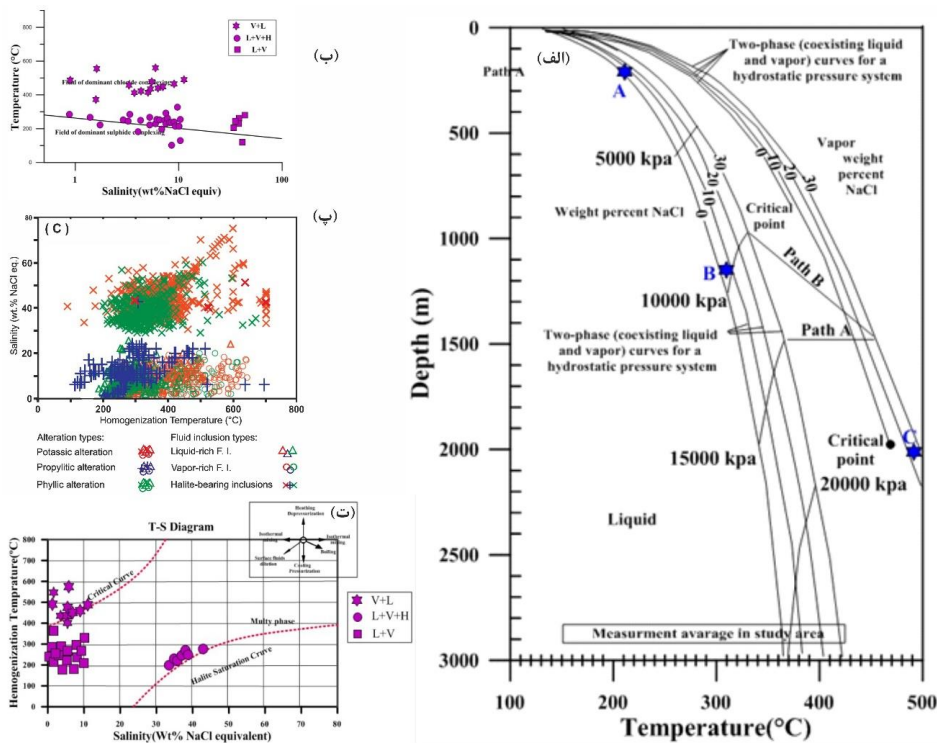
عمق کانسارهای مس پورفیری بر الگوی کانه‌زایی آنها تأثیر می‌گذارد، در حالتی که استوک پورفیری در عمق کم جای می‌گیرد شیب زمین گرمایی در اطراف استوک شدیدتر است و دما به سرعت با فاصله از استوک کاهش می‌یابد. در این حالت محتوای فلزی سیالات گرمابی فرستی برای دور شدن از توده نفوذی ندارد و فلزات در اطراف و داخل سنگ‌های نفوذی مستقر می‌شوند و کانه‌زایی در

معادل نمک NaCl). دمای همگن شدن میانبارهای سیال در منطقه فیلیک بیشتر بین ۲۰۰ تا ۴۰۰ درجه سانتی‌گراد با مقادیر کمی بیش از ۴۰۰ درجه سانتی‌گراد است، در حالی که در منطقه پتاسیک دما از ۲۵۰ تا بیش از ۶۰۰ درجه سانتی‌گراد تغییر می‌کند. همپوشانی در دمای میان این دو منطقه دگرسانی، احتمالاً نتیجه چاپ شدن بعدی دگرسانی فیلیک بر روی پتاسیک است. داده‌ها برای میانبارهای سیال مناطق دگرسانی پروپیلیتیک و آرژیلیک دمای بین ۱۰۰ تا ۳۵۰ درجه سانتی‌گراد و شوری بین ۰ تا ۲۵ درصد وزنی معادل نمک NaCl را نشان می‌دهد. مقایسه دما و شوری داده‌های میانبارهای سیال سامانه باع خشک (جدول ۵ و شکل ۱۰) با برخی از کانسارهای مس پورفیری در شکل (۱۳ پ)، شباهت کانسار مس باع خشک را با سامانه‌های مس پورفیری تأیید می‌کند. سیالات ماقمایی و گرمابی، به دلیل تأثیر عوامل مختلف فیزیکی و شیمیایی از قبیل مخلوط شدن هم‌دما، گرمایش/کاهش فشار، سرمایش/کاهش فشار، جوشش و رقيق‌شدگی سیال در سطح باعث تهنشست محتوای فلزی آنها در سنگ‌های میزبان می‌شود (Wilkinson, 2001; Wilkinson, 2001; Zhang et al, 2010; Zhu et al, 2011). مخلوط شدن سیالات ماقمایی با آب‌های جوی باعث کاهش شوری و دمای سیالات کانسارساز می‌شود (Roedder et al, 1984; Simpson et al, 2015). در سامانه باع خشک، سرد شدن طبیعی سیالات ماقمایی و مخلوط شدن آن با آب‌های جوی از

پورفیری سرچشم‌های در عمق حدود ۵ کیلومتری تشکیل شده و کانه‌زایی در استوک پورفیری و سنگ‌های میزبان آتش‌شانی گسترده است (McInnes et al, 2003). در مقابل، کانسار مس ۲/۴ پورفیری میدوک در عمق کمتری (حدود ۲ کیلومتر) تشکیل شده و کانه‌زایی بیشتر در استوک نفوذی رخ داده است (Taghipour et al, 2008). در کانسار مس باع خشک، با توجه به مقادیر کمینه، میانگین، و بیشینه دمای همگن شدن و شوری میانبارهای سیال، میانگین عمق به دام افتادن میانبارهای سیال به ترتیب ۲۰۰، ۲۰۵۰ و ۱۲۰۰ متر برآورد می‌شود (شکل ۱۳ الف). از این‌رو میانگین عمق به دام افتادن میانبارهای سیال و جایگیری استوک نفوذی باع خشک ۱۲۰۰ متر تخمین زده می‌شود. با توجه به عمق کم قرارگیری استوک پورفیری در سامانه باع خشک (به طور متوسط ۱۲۰۰ متر)، انتظار می‌رود که کانه‌زایی در سنگ‌های نفوذی رخ داده باشد. شواهد سنگ‌نگاری، کانی‌شناسی و ژئوشیمیابی نمونه‌های سطحی و مغزه‌های حفاری نیز این موضوع را تأیید می‌کنند. بارنز (Barnes, 1997) معتقد بود که فلزات در سیالات گرمابی با شوری و دمای بالا به صورت کمپلکس‌های کلریدی، و در سیالات گرمابی با شوری و دمای پایین به صورت کمپلکس‌های سولفیدی حمل می‌شوند. در کانسار باع خشک، هر دوی کمپلکس‌های کلریدی و سولفیدی در انتقال فلزات نقش داشته‌اند. در این میان، نقش کمپلکس‌های کلریدی پرنگ بوده است (شکل ۱۳ ب). شکل (۱۳ پ)، همبستگی دمای همگن شدن و شوری میانبارهای سیال با نوع دگرسانی را برای Bodnar (13 کانسار مس پورفیری نشان می‌دهد (et al, 2014). میانبارهای سیال همراه با دگرسانی‌های پتاسیک و فیلیک طیف مشابهی از شوری را نشان می‌دهد (بیشتر ۰ تا ۶۰ درصد وزنی

وجود بافت برشی در نمونه‌های مغزه‌های حفاری نشان می‌دهد که جوشش یک عامل فرعی در تهنشست عناصر بوده است. بنابراین، سرد شدن طبیعی، رقیق‌شدگی و جوشش سیال در تهنشست فلزات در منطقه باع خشک نقش داشته‌اند، که در این بین نقش سرد شدن طبیعی و رقیق‌شدگی سیال در سطح غالب بوده است (شکل ۱۳ ت).

مهم‌ترین عوامل تهنشست فلزات بوده است. دمای همگن شدن میانبارهای سیال با کاهش شوری کاهش می‌یابد، این نشان می‌دهد که اجزای آب‌های جوی در طول تکامل سیال کانه‌ساز افزایش می‌یابد. علاوه بر این، وجود میانبارهای سیال غنی از بخار، که ۳۱ درصد از کل حجم میانبارهای سیال در سامانه باع خشک را تشکیل می‌دهند، و همچنین



شکل ۱۳: (الف) نمودار دما- فشار- عمق جهت تعیین عمق به دام افتادن میانبارهای سیال (Haas, 1971)، که در آن با استفاده از مقادیر کمینه، میانگین و بیشینه دمای همگن شدن و شوری نقاط A، B و C مشخص گردید. A و B و C به ترتیب معرف کمترین، متوسط و بیشترین عمق تقریبی به دام افتادن میانبارهای سیال هستند، (ب) نمودار دمای همگن شدن- شوری میانبارهای سیال به منظور تعیین کمپلکس (آنیون) موثر در حمل عناصر کانسارساز، (پ) دمای همگن شدن و شوری میانبارهای سیال غنی از مایع، غنی از بخار و هالیت‌دار به صورت تابعی از مناطق مختلف دگرسانی برای ۱۳ کانسار مس پورفیری (Bodnar et al, 2014)، و (ت) موقعیت قرارگیری نمونه‌های نمونه‌های منطقه مورد مطالعه در نمودار شوری در مقابل دمای همگن شدن (Wilkinson, 2001)، که فرایند عادی سرد شدن سیال و اختلاط سیال ماغمایی با آب‌های جوی را نشان می‌دهد.

ماگما ارتباط تنگاتنگی وجود دارد (Sillitoe, 1997). مقدار مسی که در طول تبلور بخشی تمرکز می‌یابد به وسیله فشار بخشی اکسیژن ماگما کنترل

ارتباط کانه‌زایی با ماگماتیسم شواهد و مستندات نشان می‌دهد که میان کانه‌زایی مس پورفیری با فشار بخشی گوگرد و اکسیژن

خشک از قبیل غنی‌شدگی LREE، تهی‌شدگی Nb، Ta، Ti، Hf، Zr، و Y، غنی‌شدگی Rb، Ba، K، و Cs، نمودارهای Sr/Y-Yb و La/Yb (Hosseini et al., 2020) and Arvin, 2020 و تحقیق حاضر) نشان می‌دهد که ترکیب سنگی منبع گوشه‌ای به احتمال زیاد گارنت/آمفیبولیت بوده است و ذوب بخشی چنین منبعی در همراهی با ذوب پوسته زیرین ضخیم شده در مرحله بلوغ تشکیل کمان قاره‌ای، ماقمایی بارور با ماهیت ژئوشیمیایی آداسیتی تولید نموده است که مستعد تشکیل کانسار مس پورفیری اقتصادی است.

نتیجه‌گیری

نفوذی‌های گرانیتوییدی میوسن پسین با ترکیب گرانوویوریت، کوارتز دیوریت و دیوریت میزان کانه‌زایی هستند. این نفوذی‌ها ویژگی‌های ژئوشیمیایی ماقمایی آداسیتی را دارند و در یک محیط کمان قاره‌ای نرمال جای گرفته‌اند. غنی‌شدگی در LREE، مقدار بالای نسبت‌های La/Yb و Sr/Y و La/Yb، غنی‌شدگی در LILE و HFSE از ویژگی‌های ژئوشیمیایی بارز گرانیتوییدهای باغ خشک است. کالکوپیریت مهم‌ترین کانه مس است که همراه با پیریت، بورنیت، مولیبدنیت و مگنتیت به صورت‌های دانه‌پراکنده و رگه-رگچه‌ای در مناطق دگرسانی پتاسیک و فیلیک مشاهده می‌شود. دمای همگن-شدن در مجموعه میانبارهای سیال از ۱۸۰ تا ۵۶۵ درجه سانتی‌گراد و شوری از ۰/۳۵ تا ۴۲/۶۱ درصد وزنی معادل نمک طعام تغییر می‌کند که در انطباق با دامنه دما و شوری کانسارهای مس پورفیری است. سرد شدن طبیعی سیالات ماقمایی و مخلوط شدن آن با آبهای جوی از مهم‌ترین عوامل تهنشست فلزات بوده است، و میانگین عمق به دام افتادن میانبارهای سیال و جایگیری استوک

می‌شود. در شرایط اکسیداسیون، مس ممکن است بهطور کافی از یک سامانه ماقمایی- گرمابی خارج شده و پس از ورود در توده معدنی، یک کانسار اقتصادی مس پورفیری را تشکیل دهد. تحت چنین فوکاسیته اکسیژن، مس در تقسیم میان بلور- مذاب به عنوان یک عنصر ناسازگار رفتار می‌کند و در طول تبلور بخشی غلظت آن در مذاب افزایش می‌یابد (Candela, 1991). وجود مگنتیت، بیوتیت و کلریت همزاد با کانه‌های سولفیدی مس در گرانیتوییدهای باغ خشک تایید می‌کند که ماقما والد دارای اکسیژن بالا بوده است و شرایط اکسیداسیون مناسب برای تشکیل کانسار مس اقتصادی وجود داشته است. ریچاردز و همکاران (Richards et al., 2012) پیشنهاد کرده‌اند که ماقمایهای نابارور تا نیمه‌باور خشک تا به نسبت آب‌دار هستند و در شرایط کششی و در طول مراحل ابتدایی تکامل کمان‌های ماقمایی تشکیل می‌شوند. چنین ماقمایهایی در پوسته بالایی توقف نداشته و بنابراین قادر نیستند که سامانه‌های ماقمایی- گرمابی بزرگ ایجاد کنند. در حالی که ماقمایی بارور آب‌دار هستند و در مرحله بلوغ کمان ماقمایی و در عمق زیاد جای می‌گیرند و سامانه‌های ماقمایی- گرمابی متوسط تا بزرگ را تشکیل می‌دهند. علاوه بر این، گرانیتوییدهای نابارور تا نیمه‌باور دارای مقدار MREE، HREE، HFSE، Y و LILE بالا هستند که نشان می‌دهد سنگ‌شناسی منبع گوشه‌ای آمفیبول/اکلوژیت است. ذوب چنین منبعی ماقمایهای نابارور تا نیمه بارور تولید می‌نماید. در حالی که گرانیتوییدهای بارور دارای مقادیر LREE و HFSE بالا و Y پایین هستند و بیانگر گارنت/آمفیبولیت سنگ‌شناسی منبع گوشه‌ای است. ذوب چنین منبعی ماقمایهای بارور و سنگ‌های آداسیتی تولید می‌نماید (Defant and Drummond, 1993; Rapp and Watson, 1995). ویژگی‌های ژئوشیمیایی گرانیتوییدهای باغ

سپاسگزاری

نگارندگان مقاله از دانشکده علوم زمین دانشگاه صنعتی شاهروod که بستر و محیط مناسبی را برای انجام این پژوهش آماده کرده‌اند، سپاسگزاری می‌نمایند. از شرکت ملی صنایع مس ایران و بهویژه آقای مهندس تقی‌زاده که با انجام پژوهش در محدوده مس باغ خشک موافقت نموده و امکان بازدید صحرایی را فراهم نمودند، تشکر صمیمانه دارند. از شرکت محترم ایمیدرو که انجام پاره‌ای از تجزیه‌های شیمیایی را تقبل نمودند، قدردانی می‌شود.

-قربانی، م.، ۱۳۸۷. زمین‌شناسی اقتصادی کانسارها و نشانه‌های معدنی ایران، چاپ اول، انتشارات آرین زمین، تهران، ۶۷۴ ص.

نفوذی باغ خشک ۱۲۰۰ متر تخمین زده می‌شود. سامانه ماگمایی باغ خشک همانند دیگر سامانه‌های ماگمایی بارور در کمربند ارومیه- دختر، از ذوب بخشی منبع گوشه‌ای با ترکیب گارنت آمفیبولیت و پوسته زیرین ضخیم شده تشکیل شده، که در این میان سهم پوسته زیرین غالب بوده است. ماگمای آدکیتی مولد تولید شده قادر به انحلال و حمل مقادیر زیادی مس، مولیبدن، طلا، گوگرد و سیال بوده است. صعود سریع ماگماهای آدکیتی بارور منجر به تشکیل کانسار اقتصادی مس در این منطقه شده است.

منابع

-شرکت ملی صنایع مس ایران، ۱۳۸۹. گزارش مطالعات زمین‌شناسی و آلتراسیون محدوده باغ خشک در مقیاس ۱/۱۰۰۰، گزارش داخلی و منتشر نشده.

-Aghazadeh, M., Hou, Z., Badrzadeh, Z. and Zhou, L., 2015. Temporal-spatial distribution and tectonic setting of porphyry copper deposits in Iran: Constraints from zircon U-Pb and molybdenite Re-Os geochronology: Ore Geology Reviews, v. 70, p. 385-406.

-Alavi, M., 1994. Tectonics of the Zagros orogenic belt of Iran: new data and interpretations: Tectonophysics, v. 229, p. 211-238.

-Asadi, S., Moore, F. and Zaravandi, A.R., 2014. Discriminating productive and barren porphyry copper deposits in the southeastern part of the central Iranian volcano-plutonic belt, Kerman region, Iran: A review. Earth Sciences Reviews, v. 138, p. 25-46.

-Barnes, H.L., 1997. Geochemistry of Hydrothermal Ore Deposits: John Wiley & Sons, New York, 972 p.

-Berberian, F. and Berberian, M., 1981. Tectono-plutonic episodes in Iran. In:

Gupta, H.K., Delany, F.M. (Eds.), Zagros-Hindu Kush-Himalaya Geodynamic Evolution: American Geophysical Union & Geological Society of America, Washington, p. 5-32.

-Bodnar, R.J., Lecumberri-Sanchez, P., Moncada, D. and Steele-MacInnis, M., 2014. Fluid Inclusions in hydrothermal ore deposits: In Holland H.D. and Turekian K.K. (eds.) Treatise on Geochemistry, Second Edition, Oxford, Elsevier, v. 13, p. 119-142.

-Brown, G.C., Thorpe, R. and Webb, P.C., 1984. The geochemical characteristics of granitoids in contrasting arcs and comments on magma sources: Journal of the Geological Society, v. 141, p. 413-426.

-Candela, P.A., 1991. Physics of aqueous phase evolution in plutonic environments: American Mineralogist

- (United States), v. 76(7-8), p. 1081-1091.
- Defant, M.J. and Drummond, M.S., 1993. Mount St. Helens: potential example of the partial melting of the subducted lithosphere in a volcanic arc: *Geology*, v. 21, p. 547-550.
- Defant, M.J. and Drummond, M.S., 1990. Derivation of some modern arc magmas by melting of the subducted lithosphere in a volcanic arc: *Geology*, v. 21, p. 547-550.
- Dimitrijevic, M.D., 1973. Geology of Kerman region: Geological Survey of Iran, v. 52, 334 p.
- Haas, J.L., 1971. The effect of salinity on the maximum thermal gradient of a hydrothermal system at hydrostatic pressure: *Economic Geology*, v. 66(6), p. 940-946.
- Han, Z.Z., Liu, H., Li, M., Sun, X.X., Lai, Z.Q., Bian, Y. and Lin, X.H., 2018. Mantle source features of the basalts and magma activity along the equatorial regions in the East Pacific Rise: Period Ocean University of China, v. 48, p. 63-75, (In Chinese with English Abstract).
- Hassanzadeh, J., 1993. Metallogenic and tectono-magmatic events in the SE sector of the Cenozoic active continental margin of Iran (Shahr e Babak area, Kerman province): Unpublished Ph.D. Thesis, University of California, Los Angeles, 204 p.
- Hofmann, A.W., Jochum, K.P., Seufert, M. and White, W.M., 1986. Nb and Pb in oceanic basalts: new constrains on mantle evolution: *Earth and Planetary Science Letters*, v. 79, p. 33-45.
- Hosseini, S.Z. and Arvin, M., 2020. Geochemistry and Sr-Nd Isotopes of the Oligo-Miocene Bagh-e-Khoshk Granitoid in SE of the UDMA, Iran: Implications for Petrogenesis and Geodynamic Setting: *Journal of Sciences, Islamic Republic of Iran*, v. 31(3), p. 245-257.
- Hou, Z.Q., Gao, Y.F., Qu, X.M., Rui, Z.Y. and Mo, X.X., 2004. Origin of adakitic intrusives generated during mid-Miocene east-west extension in southern Tibet: *Earth and Planetary Science Letters*, v. 220, p. 139-155.
- Irvine, T.N.J. and Baragar, W.R.A.F., 1971. A guide to the chemical classification of the common volcanic rocks: *Canadian Journal of Earth Sciences*, v. 8(5), p. 523-548.
- John, D.A., Ayuso, R.A., Barton, M.D., Blakely, R.J., Bondar, R.J., Dilles, J.H., Gray, F., Graybeal, F.T., Mars, J.C., McPhee, D.K., Seal, R.R., Taylor, R.D. and Vikre, P.G., 2010. Porphyry copper deposit Model, chapter B of mineral deposit models for resource assessment: *Scientific Investigations Report 2010-5070-B*. U.S. Geological Survey, Reston, Virginia, 169 p.
- Lottermoser, B.G., 1992. Rare earth elements and hydrothermal ore formation processes: *Ore Geology Reviews*, v. 7(1), p. 25-41.
- Martin, H., Smithies, R.H., Rapp, R., Moyen, J. and Champion, D., 2005. An overview of adakite, tonalite-trondhjemite-granodiorite (TTG), and sanukitoid—Relationships and some implications for crustal evolution: *Lithos*, v. 79, p. 1-24.
- McInnes, B.I.A., Evans, N.J., Fu, F.Q., Garwin, S., Belousova, E., Griffin, W.L., Bertens, A., Sukama, D., Permanadewi, S., Andrew, R.L. and Deckart, K., 2005. Thermal history analysis of selected Chilean, Indonesian, and Iranian porphyry Cu-Mo-Au deposits. In: Porter T.M. (Ed.), *Super Porphyry Copper and Gold Deposits: A Global Perspective*. PGC Publishing, Adelaide, p. 1-16.
- McInnes, B.I.A., Evans, N.J., Belousova, E. and Griffin, W.L., 2003. Porphyry copper deposits of the Kerman belt, Iran: timing of mineralization and

- exhumation processes: CSIRO Science Research Report, 41 p.
- Middlemost, E.A.K., 1994. Naming materials in the magma and igneous rock system: *Science Reviews*, v. 37, p. 215-224.
- Mohebi, A., Sepidbar, F., Mirnejad, H. and Behzadi, M., 2020. Molybdenite Re-Os dating, petrology, and geochemistry of granitoids in the Bondar Hanza porphyry Cu deposit (Urumieh-Dokhtar magmatic arc), Iran: Insight into petrogenesis, mineralization, and tectonic setting: *Geological Journal*, v. 55(11), p. 7499-7516.
- Nedimovic, R., 1973. Exploration for ore deposits in Kerman region. Geological Survey of Iran: v. 53, 247 p.
- Rapp, R.P. and Watson, E.B., 1995. Dehydration melting of metabasalt at 8–32 kbar: Implications for continental growth and crust-mantle recycling: *Journal of Petrology*, v. 36(4), p. 891-931.
- Reich, M., Parada, M.A., Palacios, C., Dietrich, A., Schultz, F. and Lehman, B., 2003. Adakite-like signature of late Miocene intrusions at the Los Pelambres giant porphyry copper deposit in the Andes of Central Chile—Metallogenic implications: *Mineralium Deposita*, v. 38, p. 876-885.
- Richards, J.P., Spell, T., Rameh, E., Razique, A. and Fletcher, T., 2012. High Sr/Y magmas reflect arc maturity, high magmatic water content, and porphyry Cu-Mo-Au potential: example from the Tethyan arcs of central and eastern Iran and western Pakistan: *Economic Geology*, v. 107(2), p. 295-332.
- Richards, J.P. and Kerrich, R., 2007. Adakite-like rocks: Their diverse origins and questionable role in metallogenesis: *Economic Geology*, v. 102, p. 537-576.
- Roedder, E., 1984. Fluid inclusion review in mineralogy: Mineralogical Society of America, Book Crafters, Inc., Chelsea, Michigan.
- Sajona, F.G., Maury, R.C., Prouteau, G., Cotton, J., Schiano, P., Bellon, H. and Fontaine, L., 2000. Slab melt as metasomatic agent in island arc magma mantle sources, Negros and Batan (Philippines): *Island Arc*, v. 9, p. 472-486.
- Shafiei, B., Haschke, M. and Shahabpour, J., 2009. Recycling of orogenic arc crust triggers porphyry Cu mineralization in Kerman Cenozoic arc rocks, southeastern Iran: *Mineralium Deposita*, v. 44, p. 265-283.
- Shahabpour, J., 2005. Tectonic evolution of the orogenic belt in the region located between Kerman and Neyriz: *Journal of Asian Earth Sciences*, v. 24, p. 405-417.
- Sillitoe, R.H., 2010. Porphyry Copper Systems: Society of Economic Geologists, Inc. *Economic Geology*, v. 105, p. 3-41.
- Sillitoe, R.H., 1997. Characteristics and controls of the largest porphyry copper-gold and epithermal gold deposits in the circum-Pacific region: *Australian Journal of Earth Sciences*, v. 44(3), p. 373-388.
- Simpson, M.P., Palinkas, S.S., Mauk, J.L. and Bondar, R.J., 2015. Fluid inclusion chemistry of adularia-sericite Au-Ag deposits of the Southern Hauraki goldfield, New Zealand: *Economic Geology*, v. 110, p. 763-786.
- Soheili, M., 1995. Geological quadrangle map of Sirjan, 1:250,000 series, No. I11, Geological Survey of Iran (GSI), Tehran.
- Stöcklin, J., 1968. Structural history and tectonics of Iran: a review, *American Association of Petroleum Geologists Bulletin*, v. 52(7), p. 1229-1258.
- Taghipour, N., Aftabi, A. and Mathur, R., 2008. Geology and Re-Os geochronology of mineralization of the Miduk porphyry copper deposit: *Resource Geology*, v. 58 (2), p. 143-160.

- Thompson, R.N., 1982. Magmatism of the British Tertiary volcanic province: Scottish Journal of Geology, v. 18(1), p. 49-107.
- Waterman, G.C. and Hamilton, R.L., 1975. The Sar-Cheshmeh porphyry copper deposit: Economic Geology, v. 70, p. 568-576.
- Whitney, D.L. and Evans, B.W., 2010. Abbreviations for names of rock-forming minerals: American Mineralogist, v. 95, p. 185-187.
- Wilkinson, J.J., 2001. Fluid inclusions in hydrothermal ore deposits: Lithos, v. 55, p. 229-272.
- Yugoslavian Group, 1971. Geological quadrangle map of Pariz, 1:100,000 series, No. 7149, Geological Survey of Iran (GSI), Tehran.
- Zhang, Z.H., Mao, J.W., Wang, Y.B., Pirajno, F., Liu, J.L. and Zhao, Z.D., 2010. Geochemistry and geochronology of the volcanic rocks associated with the Dong'an adularia-sericite epithermal gold deposit, Lesser Hinggan Range, Heilongjiang province, NE China: constraints on the metallogenesis: Ore Geology Reviews, v. 37, p. 158-174.
- Zhu, Y., An, F. and Tan, J., 2011. Geochemistry of hydrothermal gold deposits: A review: Geosciences Frontiers, v. 2, p. 367-374.